

COMMITTENTE:



PROGETTAZIONE:



DIRETTRICE FERROVIARIA MESSINA - CATANIA - PALERMO

NUOVO COLLEGAMENTO PALERMO - CATANIA

U.O. OPERE CIVILI E GESTIONE DELLE VARIANTI

PROGETTO DEFINITIVO

TRATTA NUOVA ENNA – DITTAINO

OPERE PRINCIPALI – PONTI E VIADOTTI

VI04 - Viadotto ferroviario a Singolo Binario

Relazione di calcolo Pile 2/5

SCALA:

-

COMMESSA LOTTO FASE ENTE TIPO DOC. OPERA/DISCIPLINA PROGR. REV.

RS3V 40 D 09 CL VI0405 002 B

Rev.	Descrizione	Redatto	Data	Verificato	Data	Approvato	Data	Autorizzato Data
A	EMISSIONE ESECUTIVA	P.Valente	Dicembre 2019	A.Ferri	Dicembre 2019	F. Sparacino	Dicembre 2019	A. Vittozzi Marzo 2020
B	EMISSIONE ESECUTIVA	P.Valente	Marzo 2020	A.Ferri	Marzo 2020	F. Sparacino	Marzo 2020	

ITALFERR S.p.A.
 U.O. Opere Civili e Gestione delle varianti
 Dott. Ing. Angelo Vittozzi
 Ordine degli Ingegneri della Provincia di Roma
 N° A20783

File: RS3V40D09CLVI0405002B.docx

n. Emissione: 880

INDICE

1	PREMESSA	4
1.1	DESCRIZIONE DELL'OPERA	4
1.2	ASPETTI LEGATI ALLE OPERE DI FONDAZIONE	5
2	RIFERIMENTI NORMATIVI	6
3	MATERIALI	7
3.1	VERIFICA S.L.E.	8
3.1.1	<i>Verifiche alle tensioni</i>	8
3.1.2	<i>Verifiche a fessurazione</i>	8
4	ANALISI E VERIFICHE PILA	10
4.1	GENERALITÀ	10
4.2	MODELLI A MENSOLA PER LA VERIFICA DELLE PILE	10
4.3	CONDIZIONI ELEMENTARI E COMBINAZIONI DI CARICO	10
4.4	SISTEMI DI RIFERIMENTO ED UNITÀ DI MISURA	14
4.5	GEOMETRIA DELLA PILA	15
4.6	ANALISI DEI CARICHI	16
4.6.1	<i>Peso proprio elementi strutturali</i>	16
4.6.2	<i>Carichi trasmessi dall'impalcato</i>	16
4.6.3	<i>Azione del Vento</i>	19
4.6.4	<i>Carichi da traffico verticali</i>	21
4.6.5	<i>Effetti dinamici</i>	22
4.6.6	<i>Carichi da traffico orizzontali</i>	22
4.6.7	<i>Azione sismica</i>	24
4.6.8	<i>Analisi Dinamica Lineare</i>	28
4.6.9	<i>Calcolo delle sollecitazioni in testa pali</i>	30

4.6.10	Riepilogo risultati.....	30
4.7	SOLLECITAZIONI.....	32
4.7.1	Base Pila	32
4.7.2	Plinto di fondazione.....	33
4.8	PALI DI FONDAZIONE	36
4.9	VERIFICHE DEGLI ELEMENTI STRUTTURALI.....	37
4.9.1	Pila	38
4.9.2	Zattera di fondazione.....	48
4.9.3	Palo di fondazione L=34.0m	51
4.9.4	Escursione Longitudinale, giunti e varchi.....	55
4.9.5	Ritegni sismici, baggioli, pulvini	59
5	SINTESI DELLE VERIFICHE GEOTECNICHE	64

1 PREMESSA

La presente relazione ha per oggetto il dimensionamento e le verifiche di resistenza secondo il metodo semiprobabilistico agli Stati Limite (S.L.) di una delle Pile del viadotto ferroviario **VI04** della tratta ferroviaria Nuova Enna-Dittaino, viadotto ferroviario previsto nell'ambito del progetto definitivo lungo la direttrice ferroviaria Messina-Catania-Palermo del nuovo collegamento Palermo-Catania. In particolare si tratterà la **Pila 02** che presenta l'**altezza maggiore per tipologia di pila ed impalcati afferenti**.

Verranno ipotizzati appoggi fissi sulla campata di luce maggiore, indipendentemente dal reale posizionamento degli stessi.

Le analisi strutturali e le verifiche di sicurezza sono state effettuate secondo il DM 17 gennaio 2018.

1.1 Descrizione dell'opera

Il viadotto VI04 è previsto a singolo binario dal km 9+856 (asse giunto spalla A) al km 10+216 per uno sviluppo complessivo di 360.09 m ed è costituito da 4 campate isostatiche di luce 25m in c.a.p., 4 campate in acciaio-cls da 40 m e 2 campate in acciaio-cls da 50 m, in corrispondenza dello scavalco dell'autostrada Palermo-Catania e degli affluenti del fiume Dittaino.

La larghezza dell'impalcato fuori tutto è pari a 9.70m.

Le pile, in c.a., presentano un fusto a sezione cava costante su tutta l'altezza.

Le spalle sono realizzate in c.a. gettato in opera.

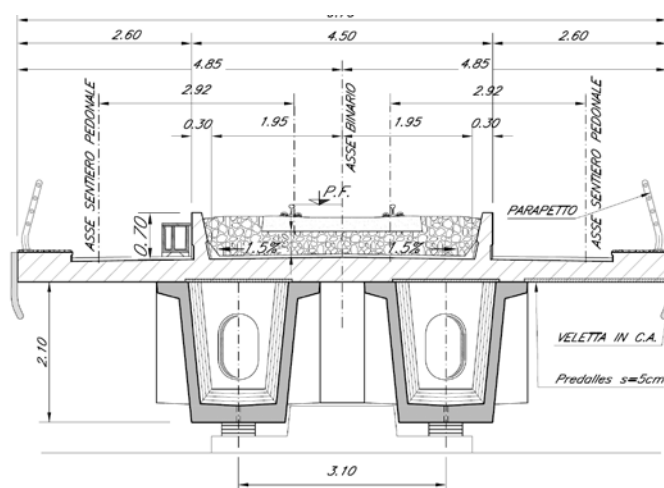


Figura 1 - Sezione trasversale campate in c.a.p. L=25 m

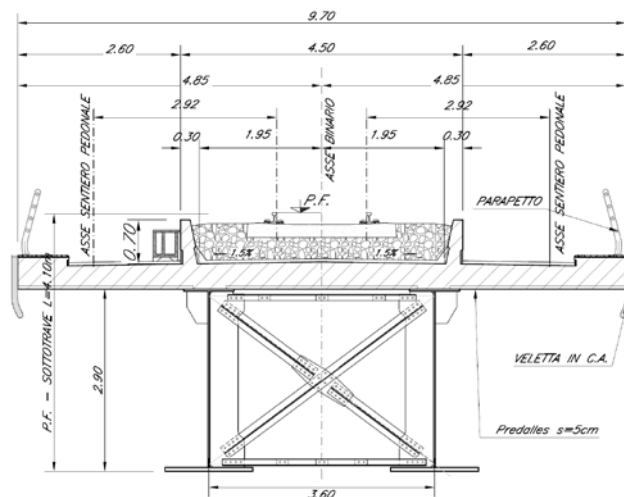


Figura 2 - Sezione trasversale campate in acciaio-clc L=40 m

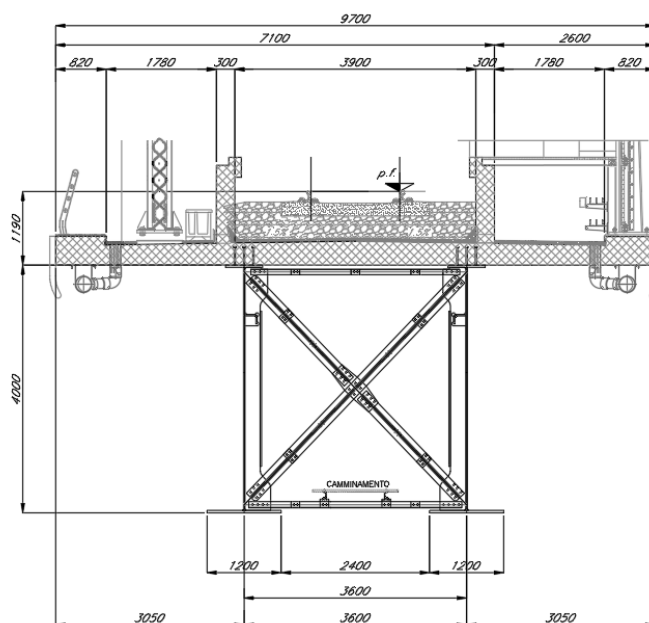


Figura 3 - Sezione trasversale campate in acciaio-clc L=50 m

1.2 Aspetti legati alle opere di fondazione

Le fondazioni del Viadotto - VI04, sono previste su pali in c.a. di grande diametro $\Phi 1200$ e $\Phi 1500$ per le pile, $\Phi 1500$ per le spalle.

	DIRETTRICE FERROVIARIA MESSINA - CATANIA - PALERMO NUOVO COLLEGAMENTO PALERMO - CATANIA PROGETTO DEFINITIVO VI04 - Viadotto ferroviario a Singolo Binario					
	RELAZIONE DI CALCOLO PILA 2/5	COMMESSA RS3V	LOTTO 40	CODIFICA D 09 CL	DOCUMENTO VI 04 05 002	REV. B

2 RIFERIMENTI NORMATIVI

Il progetto è redatto secondo i metodi classici della scienza delle costruzioni e nel rispetto della seguente normativa:

- [N1] **D.M. del 17 gennaio 2018: Nuove norme tecniche per le costruzioni;**
- [N2] **C.M. 21/01/2019 n.7: Istruzioni per l'applicazione delle "Norme tecniche per le costruzioni";**
- [N3] **RFI DTC SI PS MA IFS 001 C: Manuale di progettazione delle Opere Civili. Emissione per applicazione del 21/12/2018;**
- [N4] **RFI DTC SI PS SP IFS 001 C del 21/12/2018: Capitolato generale tecnico di appalto delle opere civili – Parte II – Sezione 6 – Opere in conglomerato cementizio e in acciaio;**

Nella redazione dei progetti e nelle verifiche strutturali si è inoltre fatto riferimento alla normativa Europea di seguito specificata:

- [N5] **STI 2014 – REGOLAMENTO UE N.1299/2014 della commissione del 18 novembre 2014 relativo alle specifiche tecniche di interoperabilità per il sottosistema "infrastruttura" del sistema ferroviario dell'Unione Europea, modificato dal Regolamento di esecuzione (UE) N° 2019/776 della Commissione del 16 maggio 2019;**

3 MATERIALI

Le caratteristiche dei materiali previsti le sottostrutture sono le seguenti:

➤ Calcestruzzo magro e getto di livellamento

- CLASSE DI RESISTENZA MINIMA C12/15
- TIPO CEMENTO CEM I+V
- CLASSE DI ESPOSIZIONE AMBIENTALE : X0

➤ Calcestruzzo pali di fondazione, cordoli, opere provvisionali, calcestruzzo fondazioni

- CLASSE DI RESISTENZA MINIMA C25/30
- TIPO CEMENTO CEM III+V
- RAPPORTO A/C : ≤ 0.60
- CLASSE MINIMA DI CONSISTENZA : S4
- CLASSE DI ESPOSIZIONE AMBIENTALE : XC2
- COPRIFERRO MINIMO = 60 mm
- DIAMETRO MASSIMO INERTI : 32 mm

➤ Calcestruzzo fondazioni armate

- CLASSE DI RESISTENZA MINIMA C28/35
- CLASSE MINIMA DI CONSISTENZA : S4
- CLASSE DI ESPOSIZIONE AMBIENTALE : XC2
- COPRIFERRO = 40 mm (**)
- DIAMETRO MASSIMO INERTI : 25 mm

- COPRIFERRO MINIMO = 40mm
- DIAMETRO INERTI : 25 mm

➤ Calcestruzzo elevazione pile (compresi pulvini, baggioli e ritegni), spalle

- CLASSE DI RESISTENZA MINIMA C32/40
- TIPO CEMENTO CEM III+V
- RAPPORTO A/C : ≤ 0.50
- CLASSE MINIMA DI CONSISTENZA : S4
- CLASSE DI ESPOSIZIONE AMBIENTALE : XC4

- COPRIFERRO MINIMO = 50mm
- DIAMETRO INERTI : 25 mm

➤ Acciaio ordinario per calcestruzzo armato

- IN BARRE E RETI ELETTROSALDATE
B450C saldabile che presenta le seguenti caratteristiche :
- Tensione di snervamento caratteristica $f_{yk} \geq 450 \text{ N/mm}^2$
 - Tensione caratteristica a rottura $f_{tk} > 540 \text{ N/mm}^2$
 - $1.15 \leq f_{tk}/f_{yk} < 1.35$

(*) : I VALORI DI COPRIFERRO RIPORTATI SI RIFERISCONO AD OPERE CON VITA NOMINALE DI 75 ANNI PER COSTRUZIONI CON VITA NOMINALE DI 100 ANNI TALI VALORI DOVRANNO ESSERE AUMENTATI DI 5 mm.

 ITALFERR GRUPPO FERROVIE DELLO STATO ITALIANE	DIRETTRICE FERROVIARIA MESSINA - CATANIA - PALERMO NUOVO COLLEGAMENTO PALERMO - CATANIA PROGETTO DEFINITIVO VI04 - Viadotto ferroviario a Singolo Binario					
	RELAZIONE DI CALCOLO PILA 2/5	COMMESSA RS3V	LOTTO 40	CODIFICA D 09 CL	DOCUMENTO VI 04 05 002	REV. B

3.1 Verifica S.L.E.

La verifica nei confronti degli Stati limite di esercizio, consiste nel controllare, con riferimento alle sollecitazioni di calcolo corrispondenti alle Combinazioni di Esercizio il tasso di Lavoro nei Materiali e l'ampiezza delle fessure attese, secondo quanto di seguito specificato

3.1.1 Verifiche alle tensioni

La verifica delle tensioni in esercizio consiste nel controllare il rispetto dei limiti tensionali previsti per il calcestruzzo e per l'acciaio per ciascuna delle combinazioni di carico caratteristiche "Rara" e "Quasi Permanente"; i valori tensionali nei materiali sono valutati secondo le note teorie di analisi delle sezioni in c.a. in campo elastico e con calcestruzzo "non reagente a trazione" adottando come limiti di riferimento, trattandosi nel caso in specie di opere Ferroviarie, quelli indicati nel documento "Specifiche per la progettazione e l'esecuzione dei ponti ferroviari e di altre opere minori sotto binario RFI DTC INC PO SP IFS 001 A del 2019", ovvero:

Strutture in c.a.

Tensioni di compressione del calcestruzzo

Devono essere rispettati i seguenti limiti per le tensioni di compressione nel calcestruzzo:

- per combinazione di carico caratteristica (rara): $0,55 f_{ck}$;
- per combinazioni di carico quasi permanente: $0,40 f_{ck}$;
- per spessori minori di 5 cm, le tensioni normali limite di esercizio sono ridotte del 30%.

Tensioni di trazione nell'acciaio

Per le armature ordinarie, la massima tensione di trazione sotto la combinazione di carico caratteristica (rara) non deve superare $0,75 f_{yk}$

3.1.2 Verifiche a fessurazione

La verifica di fessurazione consiste nel controllare l'ampiezza dell'apertura delle fessure sotto combinazione di carico frequente e combinazione quasi permanente. Essendo la struttura a contatto col terreno si considerano condizioni ambientali aggressive; le armature di acciaio ordinario sono ritenute poco sensibili [NTC – Tabella 4.1.IV]

In relazione all'aggressività ambientale e alla sensibilità dell'acciaio, l'apertura limite delle fessure è riportato nel prospetto seguente:

Tabella 1 – Criteri di scelta dello stato limite di fessurazione e Condizioni Ambientali

Gruppi di esigenza	Condizioni ambientali	Combinazione di azione	Armatura			
			Sensibile		Poco sensibile	
			Stato limite	wd	Stato limite	wd
a	Ordinarie	frequente	ap. fessure	$\leq w_2$	ap. fessure	$\leq w_3$

RELAZIONE DI CALCOLO PILA 2/5

COMMESSA	LOTTO	CODIFICA	DOCUMENTO	REV.	FOGLIO
RS3V	40	D 09 CL	VI 04 05 002	B	9 di 64

		quasi permanente	ap. fessure	$\leq w_1$	ap. fessure	$\leq w_2$
b	Aggressive	frequente	ap. fessure	$\leq w_1$	ap. fessure	$\leq w_2$
		quasi permanente	decompressione	-	ap. fessure	$\leq w_1$
c	Molto Aggressive	frequente	formazione fessure	-	ap. fessure	$\leq w_1$
		quasi permanente	decompressione	-	ap. fessure	$\leq w_1$

Tabella 4.1.III – Descrizione delle condizioni ambientali

CONDIZIONI AMBIENTALI	CLASSE DI ESPOSIZIONE
Ordinarie	X0, XC1, XC2, XC3, XF1
Aggressive	XC4, XD1, XS1, XA1, XA2, XF2, XF3
Molto aggressive	XD2, XD3, XS2, XS3, XA3, XF4

Risultando:

$$w_1 = 0.2 \text{ mm}$$

$$w_2 = 0.3 \text{ mm}$$

$$w_3 = 0.4 \text{ mm}$$

Data la maggior restrittività, alle prescrizioni normative presenti in NTC si sostituiscono in tal caso quelle fornite dal “Manuale di Progettazione delle Opere Civili” secondo cui la verifica nei confronti dello stato limite di apertura delle fessure va effettuata utilizzando le sollecitazioni derivanti dalla combinazione caratteristica (rara).

Per strutture in condizioni ambientali aggressive o molto aggressive, qual è il caso delle strutture in esame così come identificate nel DM 17.1.2018, per tutte le strutture a permanente contatto con il terreno e per le zone non ispezionabili di tutte le strutture, l'apertura convenzionale delle fessure dovrà risultare:

– Combinazione Caratteristica (Rara) $\delta_f \leq w_1 = 0.2 \text{ mm}$

Riguardo infine il valore di calcolo delle fessure da confrontare con i valori limite fissati dalla norma, si è utilizzata la procedura riportata al C4.1.2.2.4.5 della Circolare n. 7/19.

4 ANALISI E VERIFICHE PILA

4.1 Generalità

La pila presenta una sezione **rettangolare cava** di dimensioni 3.4x 8.60m, una altezza complessiva di 13.50m.

Il pulvino è costituito da una sezione piena di dimensione 3.4x 8.60m ed altezza 3.00m.

Le fondazioni sono realizzate su pali di diametro 1.50 m collegate in testa da una platea di spessore 3.00m.

Per le verifiche dei singoli elementi della pila (pali, platea di fondazione ed elevazioni) è stata effettuata un'analisi dei carichi agenti sul piano appoggi e allo spiccato della fondazione; l'analisi viene riportata nelle pagine seguenti.

4.2 Modelli a mensola per la verifica delle pile

Le sollecitazioni di verifica della pila sono state determinate a partire dai valori delle risultanti delle azioni trasmesse dagli impalcati alla quota degli apparecchi di appoggio alle quali vanno combinate le azioni determinate dalle azioni date dalle forze di inerzia e dal peso proprio delle sottostrutture.

Il modello della struttura è stato implementato in un foglio di calcolo appositamente realizzato per la valutazione delle azioni agenti sulle singole parti della struttura, quali fusto pila e plinto.

Per l'analisi e la verifica del plinto di fondazione, si è utilizzato un modello, a seconda della geometria, di tirante-puntone o trave inflessa.

Per quanto riguarda invece le sollecitazioni sui pali di fondazione a partire dalle azioni risultanti nel baricentro del plinto alla quota di intradosso, sono stati calcolati, per ciascuna combinazione di carico, gli sforzi assiali e di taglio in testa ai pali di fondazione utilizzando il classico modello a piastra rigida.

4.3 Condizioni elementari e combinazioni di carico

Le verifiche di sicurezza strutturali e geotecniche sono state condotte utilizzando combinazioni di carico definite in ottemperanza alle NTC18, secondo quanto riportato nei paragrafi 2.5.3, 5.1.3.12. Di seguito sono mostrati i coefficienti parziali di sicurezza utilizzati allo SLU ed i coefficienti di combinazione adoperati per i carichi variabili nella progettazione delle strutture da ponte.

2.5.3 COMBINAZIONI DELLE AZIONI

Ai fini delle verifiche degli stati limite si definiscono le seguenti combinazioni delle azioni.

- Combinazione fondamentale, generalmente impiegata per gli stati limite ultimi (SLU):

$$\gamma_{G1} \cdot G_1 + \gamma_{G2} \cdot G_2 + \gamma_P \cdot P + \gamma_{Q1} \cdot Q_{k1} + \gamma_{Q2} \cdot \psi_{02} \cdot Q_{k2} + \gamma_{Q3} \cdot \psi_{03} \cdot Q_{k3} + \dots \quad (2.5.1)$$

- Combinazione caratteristica (rara), generalmente impiegata per gli stati limite di esercizio (SLE) irreversibili, da utilizzarsi nelle verifiche alle tensioni ammissibili di cui al § 2.7:

$$G_1 + G_2 + P + Q_{k1} + \psi_{02} \cdot Q_{k2} + \psi_{03} \cdot Q_{k3} + \dots \quad (2.5.2)$$

- Combinazione frequente, generalmente impiegata per gli stati limite di esercizio (SLE) reversibili:

$$G_1 + G_2 + P + \psi_{11} \cdot Q_{k1} + \psi_{22} \cdot Q_{k2} + \psi_{23} \cdot Q_{k3} + \dots \quad (2.5.3)$$

- Combinazione quasi permanente (SLE), generalmente impiegata per gli effetti a lungo termine:

$$G_1 + G_2 + P + \psi_{21} \cdot Q_{k1} + \psi_{22} \cdot Q_{k2} + \psi_{23} \cdot Q_{k3} + \dots \quad (2.5.4)$$

- Combinazione sismica, impiegata per gli stati limite ultimi e di esercizio connessi all'azione sismica E (v. § 3.2):

$$E + G_1 + G_2 + P + \psi_{21} \cdot Q_{k1} + \psi_{22} \cdot Q_{k2} + \dots \quad (2.5.5)$$

- Combinazione eccezionale, impiegata per gli stati limite ultimi connessi alle azioni eccezionali di progetto A_d (v. § 3.6):

$$G_1 + G_2 + P + A_d + \psi_{21} \cdot Q_{k1} + \psi_{22} \cdot Q_{k2} + \dots \quad (2.5.6)$$

Nelle combinazioni per SLE, si intende che vengono omissi i carichi Q_{kj} che danno un contributo favorevole ai fini delle verifiche e, se del caso, i carichi G_2 .

		Coefficiente	EQ ⁽¹⁾	A1 STR	A2 GEO	Combinazione eccezionale	Combinazione Sismica
Carichi permanenti	favorevoli	γ_{G1}	0,90	1,00	1,00	1,00	1,00
	sfavorevoli		1,10	1,35	1,00	1,00	1,00
Carichi permanenti non strutturali ⁽²⁾	favorevoli	γ_{G2}	0,00	0,00	0,00	1,00	1,00
	sfavorevoli		1,50	1,50	1,30	1,00	1,00
Ballast ⁽³⁾	favorevoli	γ_B	0,90	1,00	1,00	1,00	1,00
	sfavorevoli		1,50	1,50	1,30	1,00	1,00
Carichi variabili da traffico ⁽⁴⁾	favorevoli	γ_Q	0,00	0,00	0,00	0,00	0,00
	sfavorevoli		1,45	1,45	1,25	0,20 ⁽⁵⁾	0,20 ⁽⁵⁾
Carichi variabili	favorevoli	γ_{Qi}	0,00	0,00	0,00	0,00	0,00
	sfavorevoli		1,50	1,50	1,30	1,00	0,00
Precompressione	favorevole	γ_P	0,90	1,00	1,00	1,00	1,00
	sfavorevole		1,00 ⁽⁶⁾	1,00 ⁽⁷⁾	1,00	1,00	1,00

⁽¹⁾ Equilibrio che non coinvolga i parametri di deformabilità e resistenza del terreno; altrimenti si applicano i valori di GEO.

⁽²⁾ Nel caso in cui i carichi permanenti non strutturali (ad es. carichi permanenti portati) siano compiutamente definiti si potranno adottare gli stessi coefficienti validi per le azioni permanenti.

⁽³⁾ Quando si prevedano variazioni significative del carico dovuto al ballast, se ne dovrà tener conto esplicitamente nelle verifiche.

⁽⁴⁾ Le componenti delle azioni da traffico sono introdotte in combinazione considerando uno dei gruppi di carico gr della Tab. 5.2.IV.

⁽⁵⁾ Aliquota di carico da traffico da considerare.

⁽⁶⁾ 1,30 per instabilità in strutture con precompressione esterna

⁽⁷⁾ 1,20 per effetti locali

Azioni		ψ_0	ψ_1	ψ_2
Azioni singole da traffico	Carico sul rilevato a tergo delle spalle	0,80	0,50	0,0
	Azioni aerodinamiche generate dal transito dei convogli	0,80	0,50	0,0
Gruppi di carico	gr1	0,80 ⁽²⁾	0,80 ⁽¹⁾	0,0
	gr2	0,80 ⁽²⁾	0,80 ⁽¹⁾	-
	gr3	0,80 ⁽²⁾	0,80 ⁽¹⁾	0,0
	gr4	1,00	1,00 ⁽¹⁾	0,0
Azioni del vento	F_{Wk}	0,60	0,50	0,0
Azioni da neve	in fase di esecuzione	0,80	0,0	0,0
	SLU e SLE	0,0	0,0	0,0
Azioni termiche	T_k	0,60	0,60	0,50

(1) 0,80 se è carico solo un binario, 0,60 se sono carichi due binari e 0,40 se sono carichi tre o più binari.

(2) Quando come azione di base venga assunta quella del vento, i coefficienti ψ_0 relativi ai gruppi di carico delle azioni da traffico vanno assunti pari a 0,0.

Azioni		Ψ_0	Ψ_1	Ψ_2
Azioni singole da traffico	Treno di carico LM 71	0,80 ⁽³⁾	⁽¹⁾	0,0
	Treno di carico SW /0	0,80 ⁽³⁾	0,80	0,0
	Treno di carico SW/2	0,0 ⁽³⁾	0,80	0,0
	Treno scarico	1,00 ⁽³⁾	-	-
	Centrifuga	⁽²⁾ ⁽³⁾	⁽²⁾	⁽²⁾
	Azione laterale (serpeggio)	1,00 ⁽³⁾	0,80	0,0

- (1) 0,80 se è carico solo un binario, 0,60 se sono carichi due binari e 0,40 se sono carichi tre o più binari.
 (2) Si usano gli stessi coefficienti Ψ adottati per i carichi che provocano dette azioni.
 (3) Quando come azione di base venga assunta quella del vento, i coefficienti Ψ_0 relativi ai gruppi di carico delle azioni da traffico vanno assunti pari a 0,0.

Nel seguito si riportano le azioni considerate ai fini della valutazione delle sollecitazioni agenti sulle sottostrutture e, quindi, alle verifiche strutturali.

	A2 - SIU - N max gr.1	A2 - SIU - MT max gr.1	A2 - SIU - ML max gr.1	A2 - SIU - N max gr.3	A2 - SIU - MT max gr.3	A2 - SIU - ML max gr.3	A2 - SIU - Vento ponte scarico	A2 - SIU Gmin - N max gr.1	A2 - SIU Gmin - MT max gr.1	A2 - SIU Gmin - ML max gr.1	A2 - SIU Gmin - N max gr.3	A2 - SIU Gmin - MT max gr.3	A2 - SIU Gmin - ML max gr.3	A2 - SIU Gmin - Vento ponte scarico	A1 - SIU - N max gr.1	A1 - SIU - MT max gr.1	A1 - SIU - ML max gr.1	A1 - SIU - N max gr.3	A1 - SIU - MT max gr.3	A1 - SIU - ML max gr.3	A1 - SIU - Vento ponte scarico	A1 - SIU Gmin - N max gr.1	A1 - SIU Gmin - MT max gr.1	A1 - SIU Gmin - ML max gr.1	
Peso proprio g1	1,00	1,00	1,00	1,00	1,00	1,00	1,00	1,00	1,00	1,00	1,00	1,00	1,00	1,00	1,35	1,35	1,35	1,35	1,35	1,35	1,35	1,00	1,00	1,00	
Permanenti G2	1,30	1,30	1,30	1,30	1,30	1,30	1,30	0,00	0,00	0,00	0,00	0,00	0,00	0,00	1,50	1,50	1,50	1,50	1,50	1,50	1,50	1,50	0,00	0,00	
Ballast	1,30	1,30	1,30	1,30	1,30	1,30	1,30	1,00	1,00	1,00	1,00	1,00	1,00	1,00	1,50	1,50	1,50	1,50	1,50	1,50	1,50	1,00	1,00	1,00	
Comb. Nmax Qv	1,25	0,00	0,00	1,25	0,00	0,00	0,00	1,25	0,00	0,00	1,25	0,00	0,00	1,25	0,00	0,00	1,45	0,00	0,00	1,45	0,00	0,00	1,45	0,00	0,00
Comb. Nmax Q frenatura	0,63	0,00	0,00	1,25	0,00	0,00	0,00	0,63	0,00	0,00	1,25	0,00	0,00	0,73	0,00	0,00	1,45	0,00	0,00	0,00	0,00	0,73	0,00	0,00	
Comb. Nmax Q centrifuga	1,25	0,00	0,00	0,63	0,00	0,00	0,00	1,25	0,00	0,00	0,63	0,00	0,00	1,45	0,00	0,00	0,73	0,00	0,00	0,00	0,00	1,45	0,00	0,00	
Comb. Nmax Q serpeggio	1,25	0,00	0,00	0,63	0,00	0,00	0,00	1,25	0,00	0,00	0,63	0,00	0,00	1,45	0,00	0,00	0,73	0,00	0,00	0,00	0,00	1,45	0,00	0,00	
Comb. Mmax Qv	0,00	1,25	0,00	0,00	1,25	0,00	0,00	0,00	1,25	0,00	0,00	1,25	0,00	0,00	1,45	0,00	0,00	1,45	0,00	0,00	0,00	0,00	1,45	0,00	
Comb. Mmax Q frenatura	0,00	0,63	0,00	0,00	1,25	0,00	0,00	0,63	0,00	0,00	1,25	0,00	0,00	0,73	0,00	0,00	1,45	0,00	0,00	0,00	0,00	0,73	0,00	0,00	
Comb. Mmax Q centrifuga	0,00	1,25	0,00	0,00	0,63	0,00	0,00	1,25	0,00	0,00	0,63	0,00	0,00	1,45	0,00	0,00	0,73	0,00	0,00	0,00	0,00	1,45	0,00	0,00	
Comb. Mmax Q serpeggio	0,00	1,25	0,00	0,00	0,63	0,00	0,00	1,25	0,00	0,00	0,63	0,00	0,00	1,45	0,00	0,00	0,73	0,00	0,00	0,00	0,00	1,45	0,00	0,00	
Comb. MLmax Qv	0,00	0,00	1,25	0,00	0,00	1,25	0,00	0,00	0,00	1,25	0,00	0,00	1,25	0,00	0,00	1,45	0,00	0,00	1,45	0,00	0,00	0,00	1,45	0,00	
Comb. MLmax Q frenatura	0,00	0,00	0,63	0,00	0,00	1,25	0,00	0,00	0,63	0,00	1,25	0,00	0,00	0,73	0,00	0,00	1,45	0,00	0,00	0,00	0,00	1,45	0,00	0,00	
Comb. MLmax Q centrifuga	0,00	0,00	1,25	0,00	0,00	0,63	0,00	0,00	1,25	0,00	0,00	0,63	0,00	1,45	0,00	0,00	1,45	0,00	0,00	0,73	0,00	1,45	0,00	0,00	
Comb. MLmax Q serpeggio	0,00	0,00	1,25	0,00	0,00	0,63	0,00	0,00	1,25	0,00	0,00	0,63	0,00	1,45	0,00	0,00	0,73	0,00	0,00	0,00	0,00	1,45	0,00	0,00	
Vento Ponte Scarico	0,00	0,00	0,00	0,00	0,00	0,00	1,30	0,00	0,00	0,00	0,00	0,00	1,30	0,00	0,00	0,00	0,00	0,00	0,00	0,00	1,50	0,00	0,00	0,00	
Vento Ponte Carico	0,78	0,78	0,00	0,78	0,78	0,00	0,00	0,78	0,78	0,00	0,78	0,78	0,00	0,90	0,90	0,00	0,90	0,90	0,00	0,00	0,90	0,90	0,00	0,00	
Attrito permanente	1,00	1,00	1,00	1,00	1,00	1,00	1,00	1,00	1,00	1,00	1,00	1,00	1,00	1,35	1,35	1,35	1,35	1,35	1,35	1,35	1,35	1,35	1,35	1,35	
Attrito carichi mobili	1,25	1,25	1,25	1,25	1,25	1,25	0,00	1,25	1,25	1,25	1,25	1,25	1,25	1,45	1,45	1,45	1,45	1,45	1,45	1,45	1,45	1,45	1,45	1,45	
Sisma longitudinale	0,00	0,00	0,00	0,00	0,00	0,00	0,00	0,00	0,00	0,00	0,00	0,00	0,00	0,00	0,00	0,00	0,00	0,00	0,00	0,00	0,00	0,00	0,00	0,00	
Sisma trasversale	0,00	0,00	0,00	0,00	0,00	0,00	0,00	0,00	0,00	0,00	0,00	0,00	0,00	0,00	0,00	0,00	0,00	0,00	0,00	0,00	0,00	0,00	0,00	0,00	
Sisma verticale	0,00	0,00	0,00	0,00	0,00	0,00	0,00	0,00	0,00	0,00	0,00	0,00	0,00	0,00	0,00	0,00	0,00	0,00	0,00	0,00	0,00	0,00	0,00	0,00	
Vento x	0,00	0,00	0,78	0,00	0,00	0,78	0,00	0,00	0,00	0,78	0,00	0,00	0,78	0,00	0,00	0,90	0,00	0,00	0,00	0,00	0,90	0,00	0,00	0,90	
Vento y	0,78	0,78	0,00	0,78	0,78	0,00	1,30	0,78	0,78	0,00	0,78	0,78	0,00	1,30	0,90	0,90	0,00	0,90	0,90	0,00	0,00	1,50	0,90	0,90	

A1 - S1U G min - N max gr.3	A1 - S1U G min - MT max gr.3	A1 - S1U G min - ML max gr.3	A1 - S1U G min - Vento ponte scarico	S1E min - N max gr.1	S1E min - MT max gr.1	S1E min - ML max gr.1	S1E min - N max gr.3	S1E min - MT max gr.3	S1E min - ML max gr.3	S1E min - Vento ponte scarico	S1E freq. - N max gr.1	S1E freq. - MT max gr.1	S1E freq. - ML max gr.1	S1E freq. - N max gr.3	S1E freq. - MT max gr.3	S1E freq. - ML max gr.3	S1E freq. - Vento ponte scarico	S1E quasi permanente	S1V - N max	S1V - MT max	S1V - ML max	S1V - MT max	S1V - ML max	S1V - N min		
1.00	1.00	1.00	1.00	1.00	1.00	1.00	1.00	1.00	1.00	1.00	1.00	1.00	1.00	1.00	1.00	1.00	1.00	1.00	1.00	1.00	1.00	1.00	1.00	1.00	Peso proprio g1	
0.00	0.00	0.00	0.00	1.00	1.00	1.00	1.00	1.00	1.00	1.00	1.00	1.00	1.00	1.00	1.00	1.00	1.00	1.00	1.00	1.00	1.00	1.00	1.00	1.00	Permanenti G2	
1.00	1.00	1.00	1.00	1.00	1.00	1.00	1.00	1.00	1.00	1.00	1.00	1.00	1.00	1.00	1.00	1.00	1.00	1.00	1.00	1.00	1.00	1.00	1.00	1.00	Ballast	
1.45	0.00	0.00	0.00	1.00	0.00	0.00	1.00	0.00	0.00	0.00	0.80	0.00	0.00	0.80	0.00	0.00	0.00	0.00	0.20	0.00	0.00	0.00	0.00	0.20	Comb. Nmax Qr	
1.45	0.00	0.00	0.00	0.50	0.00	0.00	1.00	0.00	0.00	0.00	0.40	0.00	0.00	0.80	0.00	0.00	0.00	0.00	0.20	0.00	0.00	0.00	0.00	0.20	Comb. Nmax Q frenatura	
0.73	0.00	0.00	0.00	1.00	0.00	0.00	0.50	0.00	0.00	0.00	0.80	0.00	0.00	0.40	0.00	0.00	0.00	0.00	0.20	0.00	0.00	0.00	0.00	0.20	Comb. Nmax Q centrifuga	
0.73	0.00	0.00	0.00	1.00	0.00	0.00	0.50	0.00	0.00	0.00	0.80	0.00	0.00	0.40	0.00	0.00	0.00	0.00	0.20	0.00	0.00	0.00	0.00	0.20	Comb. Nmax Q serpeggio	
0.00	1.45	0.00	0.00	0.00	1.00	0.00	0.00	1.00	0.00	0.00	0.00	0.80	0.00	0.80	0.00	0.00	0.00	0.00	0.00	0.20	0.00	0.20	0.00	0.00	Comb. MTmax Qr	
0.00	1.45	0.00	0.00	0.00	0.50	0.00	0.00	1.00	0.00	0.00	0.00	0.40	0.00	0.80	0.00	0.00	0.00	0.00	0.00	0.20	0.00	0.20	0.00	0.00	Comb. MTmax Q frenatura	
0.00	0.73	0.00	0.00	0.00	1.00	0.00	0.00	0.50	0.00	0.00	0.00	0.80	0.00	0.40	0.00	0.00	0.00	0.00	0.00	0.20	0.00	0.20	0.00	0.00	Comb. MTmax Q centrifuga	
0.00	0.73	0.00	0.00	0.00	1.00	0.00	0.00	0.50	0.00	0.00	0.00	0.80	0.00	0.40	0.00	0.00	0.00	0.00	0.00	0.20	0.00	0.20	0.00	0.00	Comb. MTmax Q serpeggio	
0.00	0.00	1.45	0.00	0.00	0.00	1.00	0.00	0.00	1.00	0.00	0.00	0.80	0.00	0.00	0.80	0.00	0.00	0.00	0.00	0.00	0.20	0.00	0.20	0.00	Comb. MLmax Qr	
0.00	0.00	1.45	0.00	0.00	0.00	0.50	0.00	0.00	1.00	0.00	0.00	0.40	0.00	0.00	0.80	0.00	0.00	0.00	0.00	0.00	0.20	0.00	0.20	0.00	Comb. MLmax Q frenatura	
0.00	0.00	0.73	0.00	0.00	0.00	1.00	0.00	0.00	0.50	0.00	0.00	0.80	0.00	0.00	0.40	0.00	0.00	0.00	0.00	0.00	0.20	0.00	0.20	0.00	Comb. MLmax Q centrifuga	
0.00	0.00	0.73	0.00	0.00	0.00	1.00	0.00	0.00	0.50	0.00	0.00	0.80	0.00	0.00	0.40	0.00	0.00	0.00	0.00	0.00	0.20	0.00	0.20	0.00	Comb. MLmax Q serpeggio	
0.00	0.00	0.00	1.50	0.00	0.00	0.00	0.00	0.00	0.00	1.00	0.00	0.00	0.00	0.00	0.50	0.00	0.00	0.00	0.00	0.00	0.00	0.00	0.00	0.00	Vento Ponte Scarico	
0.90	0.90	0.00	0.00	0.60	0.60	0.00	0.60	0.60	0.00	0.00	0.00	0.00	0.00	0.00	0.00	0.00	0.00	0.00	0.00	0.00	0.00	0.00	0.00	0.00	Vento Ponte Carico	
1.35	1.35	1.35	1.00	1.00	1.00	1.00	1.00	1.00	1.00	1.00	1.00	1.00	1.00	1.00	1.00	1.00	1.00	1.00	1.00	0.50	0.50	0.50	0.50	0.50	0.50	Attrito permanente
1.45	1.45	1.45	0.00	1.00	1.00	1.00	1.00	1.00	1.00	0.80	0.80	0.80	0.80	0.80	0.80	0.80	0.80	0.00	0.00	0.20	0.20	0.20	0.20	0.20	0.20	Attrito carichi mobili
0.00	0.00	0.00	0.00	0.00	0.00	0.00	0.00	0.00	0.00	0.00	0.00	0.00	0.00	0.00	0.00	0.00	0.00	0.00	0.30	0.30	1.00	0.30	1.00	0.30	Sisma longitudinale	
0.00	0.00	0.00	0.00	0.00	0.00	0.00	0.00	0.00	0.00	0.00	0.00	0.00	0.00	0.00	0.00	0.00	0.00	0.00	0.30	1.00	0.30	1.00	0.30	0.30	Sisma trasversale	
0.00	0.00	0.00	0.00	0.00	0.00	0.00	0.00	0.00	0.00	0.00	0.00	0.00	0.00	0.00	0.00	0.00	0.00	0.00	1.00	0.30	0.30	-0.30	-0.30	-1.00	Sisma verticale	
0.00	0.00	0.90	0.00	0.00	0.00	0.60	0.00	0.60	0.00	0.00	0.00	0.00	0.00	0.00	0.00	0.00	0.00	0.00	0.00	0.00	0.00	0.00	0.00	0.00	Vento x	
0.90	0.90	0.00	1.50	0.60	0.60	0.00	0.60	0.60	0.00	1.00	0.00	0.00	0.00	0.00	0.00	0.00	0.00	0.00	0.00	0.00	0.00	0.00	0.00	0.00	Vento y	

Gli scarichi agli appoggi, riportati nei paragrafi seguenti, fanno riferimento alla seguente terna di assi:

- asse X coincidente con l'asse longitudinale del ponte;
- asse Y coincidente con l'asse trasversale del ponte;
- asse Z coincidente con l'asse verticale del ponte;

Per quanto riguarda la risposta alle diverse componenti dell'azione sismica, poiché si è adottata un'analisi in campo lineare, essa può essere calcolata separatamente per ciascuna delle componenti. Gli effetti sulla struttura (sollecitazioni, deformazioni, spostamenti, ecc) sono combinate successivamente applicando l'espressione

$$1.00 \cdot E_x + 0.30 \cdot E_y + 0.30 \cdot E_z$$

con rotazione dei coefficienti moltiplicativi e conseguente individuazione degli effetti più gravosi.

Occorre precisare che con il segno negativo verranno indicate le azioni aventi direzione positiva delle Z (ovvero dirette verso l'alto).

4.4 Sistemi di riferimento ed unità di misura

- Asse X parallelo all'asse longitudinale dell'impalcato
- Asse Y ortogonale all'asse longitudinale dell'impalcato
- Asse Z verticale
- Lunghezze = m
- Forze = kN

4.5 Geometria della Pila

Generali			
Peso cls	γ_{cls}	25	kN/m ³
Peso terreno	γ_t	20	kN/m ³
Sovraccarico accidentale sul rilevato	q_{acc}	53.0	kN/m ²
Altezza appoggio + baggiolo	h_{sp}	0.45	m
Distanza piano appoggi-intradosso plinto	H_1	16.95	m
Pulvino			
Altezza	H_p	3.00	m
Lunghezza lungo asse X	b_p	3.4	m
Lunghezza lungo asse Y	L_p	8.60	m
Area Sezione		27.68	m ²
% Vuoti sezione		0%	
Coordinata X del baricentro rispetto fondazione	x_p	0.00	m
Pila			
Altezza	H_m	13.50	m
Lunghezza lungo asse X	b_m	3.4	m
Lunghezza lungo asse Y	L_m	8.60	m
Area Sezione		12.70	m ²
% Vuoti sezione		44%	
Coordinata X del baricentro rispetto fondazione	x_m	0.00	m
Distanza asse baggioli- asse pila (sx)	x_{m1}	-1.20	m
Distanza asse baggioli- asse pila (dx)	x_{m2}	1.20	m
Plinto			
Altezza	H_f	3.00	m
Lunghezza lungo asse X	b_f	12.00	m
Lunghezza lungo asse Y	L_f	16.50	m
Spessore ricoprimento medio	h_t	1.00	m
Distanza asse baggioli - baricentro plinto (sx)		-1.20	m
Distanza asse baggioli - baricentro plinto (dx)		1.20	m
Terreno			
Angolo d'attrito interno (φ)		35	°
Coefficiente per il calcolo della spinta a riposo		$K_0 = 0.426$	
Sisma			
S_3		1.442	
a_g		0.164	
Coefficiente sismico orizzontale	k_h	0.236	

Tabella 2 – Dati di input

4.6 Analisi dei carichi

4.6.1 Peso proprio elementi strutturali

➤ Peso proprio strutture

I pesi degli elementi strutturali sono calcolati utilizzando un peso di volume del calcestruzzo pari a 25 kN/m³.

Impalcato (sx)			
N° Binari		1	
Lunghezza	L	40	m
Peso Proprio	G ₁	131	kN/m
Permanenti portati	G ₂	120	kN/m
Ballast		0	kN/m
n° totale appoggi sulla pila	n	2	
Reazione appoggio i = (G ₁ *L/2)/n	R _i	1310.0	kN
Reazione appoggio i = (G ₂ *L/2)/n	R _i	1200.0	kN
Reazione appoggio i = (G ₂ *L/2)/n (ballast)	R _i	0	kN

Impalcato (dx)			
N° Binari		1	
Lunghezza	L	50	m
Peso Proprio	G1	135	kN/m
Permanenti portati	G2	120	kN/m
Ballast	G2	0	kN/m
n° totale appoggi sulla pila	n	2	
Reazione appoggio i = (G ₁ *L/2)/n	R _i	1687.5	kN
Reazione appoggio i = (G ₂ *L/2)/n	R _i	1500.0	kN
Reazione appoggio i = (G ₂ *L/2)/n (ballast)	R _i	0	kN

4.6.2 Carichi trasmessi dall'impalcato

Si riportano di seguito gli scarichi agli appoggi dedotti dall'analisi dell'impalcato, per la campata sinistra e destra (la condizione di Momento Longitudinale massimo "MLmax" è riferita alla situazione in cui solo uno dei due impalcato venga caricato):

RELAZIONE DI CALCOLO PILA 2/5

COMMESSA LOTTO CODIFICA DOCUMENTO REV. FOGLIO
RS3V 40 D 09 CL VI 04 05 002 B 17 di 64

sx									
SEZIONE MISTA 40 ML SINGOLO BINARIO									
APPOGGIO	REAZIONE	y	REAZ. LM71	REAZ. SW2	α LM71	α SW2	ϕ 3	REAZ. LM71	REAZ. SW2
1	0.530	1.8	1841	2617	1.1	1	1.09	2211	2858
2	0.470	-1.8	1841	2617	1.1	1	1.09	2211	2858
dx									
SEZIONE MISTA 50 ML SINGOLO BINARIO									
APPOGGIO	REAZIONE	y	REAZ. LM71	REAZ. SW2	α LM71	α SW2	ϕ 3	REAZ. LM71	REAZ. SW2
1	0.530	1.8	2241	2305	1.1	1	1.05	2591	2423
2	0.470	-1.8	2241	2305	1.1	1	1.05	2591	2423
dx ML max									
SEZIONE MISTA 50 ML SINGOLO BINARIO									
APPOGGIO	REAZIONE	y	REAZ. LM71	REAZ. SW2	α LM71	α SW2	ϕ 3	REAZ. LM71	REAZ. SW2
1	0.530	1.8	2540	3302	1.1	1	1.05	2936	3470
2	0.470	-1.8	2540	3302	1.1	1	1.05	2936	3470

Che ripartiti con il metodo Courbon sul singolo appoggio forniscono i risultati in tabella seguente.

REAZIONI VINCOLARI [kN,m]

sx

Appoggio	A			B			biz
	FZ	FX	FY	FZ	FX	FY	
Descrizione carico	[kN]	[kN]	[kN]	[kN]	[kN]	[kN]	[m]
Peso proprio gl	1310			1310			0.00
Permanenti G2	1200			1200			0.00
Ballast							0.00
Comb. Nmax Qv	1515			1343			0.00
Comb. Nmax Q frenatura		0			0		3.00
Comb. Nmax Q centrifuga			82			82	4.80
Comb. Nmax Q serpeggio			13			13	3.00
Comb. MTmax Qv	1172			1039			0.00
Comb. MTmax Q frenatura		0			0		3.00
Comb. MTmax Q centrifuga			125			125	4.80
Comb. MTmax Q serpeggio			13			13	3.00
Comb. MLmax Qv	0			0			0.00
Comb. MLmax Q frenatura		0			0		3.00
Comb. MLmax Q centrifuga							0.00
Comb. MLmax Q serpeggio						0	3.00
Vento Ponte Scarico			190			190	3.15
Vento Ponte Carico			316			316	3.50
Attrito permanente		75	75		75	75	0.00
Attrito carichi mobili		45	45		40	40	0.00
q=1.5	Sisma longitudinale						2.30
	Sisma trasversale			1654		1654	2.30
	Sisma verticale	472			472		0.00
q=1.36	Sisma longitudinale		0		0		2.30
	Sisma trasversale			1824		1824	2.30
	Sisma verticale	472			472		0.00
q=1	Sisma longitudinale		0		0		2.30
	Sisma trasversale			2481		2481	2.30
	Sisma verticale	472			472		0.00

REAZIONI VINCOLARI [kN,m]

dx

Appoggio	A			B			biz	
	FZ	FX	FY	FZ	FX	FY		
	[kN]	[kN]	[kN]	[kN]	[kN]	[kN]		
Descrizione carico							[m]	
Peso proprio g1	1688			1688			0.00	
Permanenti G2	1500			1500			0.00	
Ballast							0.00	
Comb. Nmax Qv	1284			1139			0.00	
Comb. Nmax Q frenatura		753			753		3.00	
Comb. Nmax Q centrifuga			103			103	4.80	
Comb. Nmax Q serpeggio			13			13	3.00	
Comb. MTmax Qv	1373			1218			0.00	
Comb. MTmax Q frenatura		753			753		3.00	
Comb. MTmax Q centrifuga			145			145	4.80	
Comb. MTmax Q serpeggio			13			13	3.00	
Comb. MLmax Qv	1839			1631			0.00	
Comb. MLmax Q frenatura		753			753		3.00	
Comb. MLmax Q centrifuga			145			145	4.80	
Comb. MLmax Q serpeggio			25			25	3.00	
Vento Ponte Scarico			238			238	3.15	
Vento Ponte Carico			395			395	3.50	
Attrito permanente		96	96		96	96	0.00	
Attrito carichi mobili		55	55		49	49	0.00	
q=1.5	Sisma longitudinale		3571			3571	2.30	
	Sisma trasversale			1654			1654	2.30
	Sisma verticale	472			472			0.00
q=1.36	Sisma longitudinale		3939			3939	2.30	
	Sisma trasversale			1824			1824	2.30
	Sisma verticale	472			472			0.00
q=1	Sisma longitudinale		5357			5357	2.30	
	Sisma trasversale			2481			2481	2.30
	Sisma verticale	472			472			0.00

4.6.3 Azione del Vento

Azione del Vento - generale - NTC e EC 1-1-4:2005				
		scarico	carico	
Condizione (ponte carico o scarico)				
Altitudine sul livello del mare	as	250	250	m
Zona	Z	4	4	
Parametri	Vb,0	28	28	m/s
Parametri	a0	500	500	m
Parametri	ks	0.36	0.36	1/s
Velocità di riferimento (Tr=50anni)	$v_b = v_{b0} * (1 + k_s(a_s/a_0 - 1))$	28	28	m/s
Periodo di ritorno considerato	TR	200	200	anni
	α_R	1.08	1.08	
Velocità di riferimento	Vb(TR)	30.13	30.13	m/s
Densità dell'aria	ρ	1.25	1.25	kg/mc
Pressione cinetica di riferimento	$q_b = 0.5 * \rho * v_b^2$	0.57	0.57	kN/mq
Classe di rugosità del terreno		D	D	
Distanza dalla costa		>10	>10	km
Altitudine sul livello del mare		<750	<750	m
Categoria di esposizione del sito	Cat	II	II	
Vento su impalcato				
Parametri	kr	0.19	0.19	
Parametri	z0	0.05	0.05	m
Parametri	zmin	4	4	m
Altezza di riferimento per l'impalcato (EC punto 8.3.1(6))	z	18.8	18.8	m
Coefficiente di topografia	ct	1	1	
Coefficiente di esposizione (z)	ce(z)	2.77	2.77	
Larghezza impalcato	b	9.7	9.7	m
Altezza impalcato	h1	4.5	5.2	m
Altezza treno o parapetto	h2	1.5	4	m
Altezza totale impalcato (comprese le barriere o treno)	dtot	6	9.2	m
Rapporto di forma	b/dtot	1.62	1.05	
Coefficiente di forza (figura 8.3 EC)	cfx	2.02	2.18	
Riepilogo				
Pressione cinetica di riferimento	qb	0.57	0.57	kN/mq
Coefficiente di esposizione	ce	2.77	2.77	
Coefficiente di forza	cfx	2.02	2.18	
Altezza di riferimento (EC punto 8.3.1 (4) e (5))	d	6	9.2	m
Forza statica equivalente a m/l	f=prodotto	19.0	31.6	kN/m
Pressione statica equivalente	p=f/d	3.17	3.43	kN/mq
Pressione statica equivalente (minima considerata)	pmin	1.5	1.5	kN/mq
Forza statica equivalente a m/l considerata	f	19.0	31.6	kN/m
Vento impalcato a ponte scarico				
		sx	dx	
Forza statica equivalente	f	19.0	19.0	kN/m
Luce impalcato	L	40	50	m
Forza trasversale al piano appoggi	FT=f*L/2	380	475	kN/m
Vento impalcato a ponte carico				
Forza statica equivalente	f	31.6	31.6	kN/m
Luce impalcato	L	40	50	m
Forza trasversale al piano appoggi	FT=f*L/2	631	789	kN/m

Vento su Pila e Pulvino				
Parametri	kr	0.19	0.19	
Parametri	z0	0.05	0.05	m
Parametri	zmin	4	4	m
Altezza di riferimento per pila e pulvino (EC punto 7.6(2))	z	16.50	16.5	m
Coefficiente di topografia	ct	1	1	
Coefficiente di esposizione (z)	ce(z)	2.68	2.68	
		dir.x	dir.x	
Altezza (dir.z)	h	3.00	13.50	m
Larghezza in direz. Ortogonale al vento	b	8.6	8.6	m
Larghezza in direz. Parallela al vento	d	3.4	3.4	m
Rapporto di forma	d/b	0.40	0.40	
Coefficiente di forza (figura 7.23 EC)	cfx	2.22	2.22	
Raggio di arrotondamento (figura 7.24 EC)	r	1.2	1.2	m
Rapporto di forma II	r/b	0.14	0.14	
Fattore di riduzione (figura 7.24 EC)	Ψ	0.65	0.65	
Pressione di riferimento	$q=\Psi*cfx*ce*qb$	2.19	2.19	kN/mq
Area investita dal vento	$A=b*h$	25.8	116.1	mq
Forza statica equivalente	$F=q*A$	57	255	kN
		dir.y	dir.y	
Altezza (dir.z)	h	3.00	13.50	m
Larghezza in direz. Ortogonale al vento	b	3.4	3.4	m
Larghezza in direz. Parallela al vento	d	8.6	8.6	m
Rapporto di forma	d/b	2.53	2.53	
Coefficiente di forza (figura 7.23 EC)	cfx	1.49	1.49	
Raggio di arrotondamento (figura 7.24 EC)	r	1.2	1.2	m
Rapporto di forma II	r/b	0.35	0.35	
Fattore di riduzione (figura 7.24 EC)	Ψ	0.50	0.50	
Pressione di riferimento	$q=\Psi*cfx*ce*qb$	1.13	1.13	kN/mq
Area investita dal vento	$A=b*h$	10.2	45.9	mq
Forza statica equivalente	$F=q*A$	12	52	kN
Riepilogo				
Vento x				
Pulvino	F	57	kN	
Pila	F	255	kN	
Distanza tra spiccato fusto e testa pulvino	bz	16.50	m	
Forza totale	F Tot	311	kN	
Vento y				
Pulvino	F	12	kN	
Pila	F	52	kN	
Distanza tra spiccato fusto e testa pulvino	bz	16.50	m	
Forza totale	F Tot	64	kN	

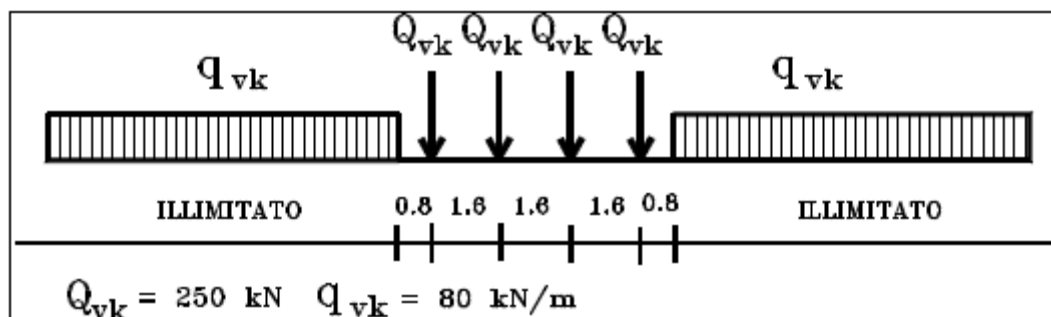
4.6.4 Carichi da traffico verticali

L'opera è stata progettata considerando le sollecitazioni dovute al carico da traffico ferroviario, considerando i modelli LM71 e/o SW/2.

Si riportano di seguito le caratteristiche dei modelli di traffico presi in esame.

➤ Modello di carico LM71

Sia le istruzioni RFI che le NTC 2018 (par. 5.2.2.2.1.1), definiscono questo modello di carico tramite carichi concentrati e carichi distribuiti, riferiti all'asse dei binari.



Treno di carico LM 71

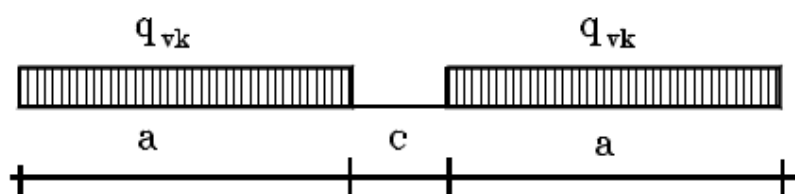
Carichi concentrati: quattro assi da 250 kN disposti ad interasse di 1,60 m;

Carico distribuito: 80 kN/m in entrambe le direzioni, a partire da 0,8 m dagli assi d'estremità e per una lunghezza illimitata

Per questo modello di carico è prevista un'eccentricità del carico rispetto all'asse del binario.

➤ Modello di carico SW/2

Sia le istruzioni RFI che le NTC 2018 (par. 5.2.2.2.1.2), definiscono questo modello di carico tramite solo carichi distribuiti.



Treno di carico SW

Tipo di Carico	q_{vk} [kN/m]	a [m]	c [m]
SW/0	133	15,0	5,3
SW/2	150	25,0	7,0

In questo modello di carico non è prevista alcuna eccentricità del carico ferroviario.

Le azioni di entrambi i modelli dovranno essere moltiplicate per un coefficiente di adattamento definito dalla seguente tabella (tab. 2.5.1.4.1.1 - RFI DTC SI PS MA IFS 001 A).

MODELLO DI CARICO	COEFFICIENTE "α"
LM71	1,10
SW/0	1,10
SW/2	1,00

4.6.5 Effetti dinamici

Per la definizione del coefficiente dinamico si segue quanto contenuto nel par.5.2.2.2.3 del DM 17.1.2018 che per l'opera in esame riporta:

$$\Phi_3 = \frac{2,16}{\sqrt{L_\phi - 0,2}} + 0,73 \quad \text{con la limitazione } 1,00 \leq \Phi_3 \leq 2,00 \quad [5.2.7]$$

4.6.6 Carichi da traffico orizzontali

Frenatura		
L	50	m
L _{calc}	50	per Treno LM 71
	30	per Treno SW/0
	43	per SW/2
Q _{lb,k}	1100	per Treno LM 71
Q _{lb,k}	660	per Treno SW/0
Q _{lb,k}	1505	per SW/2
Q _{lb,k} (filtrata) per Treno LM 71	1100	kN
Q _{lb,k} (filtrata) per Treno SW/0	660	kN
Q _{lb,k} (filtrata) per SW/2	1505	kN

Aviamento		
L	50	m
L _{calc}	50	per Treno LM 71
	30	per Treno SW/0
	43	per SW/2
Q _{la,k}	1815	per Treno LM 71
Q _{la,k}	1089	per Treno SW/0
Q _{la,k}	1419	per SW/2
Q _{la,k} (filtrata) per Treno LM 71	1000	kN
Q _{la,k} (filtrata) per Treno SW/0	1000	kN
Q _{la,k} (filtrata) per SW/2	1000	kN

RELAZIONE DI CALCOLO PILA 2/5

COMMESSA	LOTTO	CODIFICA	DOCUMENTO	REV.	FOGLIO
RS3V	40	D 09 CL	VI 04 05 002	B	23 di 64

Serpeggio		
FT=100kN /2	50	kN*m
Treno LM 71		
α	1.1	
FT* α	55	kN
Treno SW/0		
α	1.1	
FT* α	55	kN
Treno SW/2		
α	1	
FT* α	50	kN

Forza centrifuga sx

L	40	m	L ₀	38	m
velocità di progetto	160	km/h	σ_3 Coeff. Dinamico	1.092	
raggio planimetrico	1300	m			
f	0.80	Per V>120 km/h			
f	1	Per V<120 km/h			

Treno LM 71			Treno SW/0			Treno SW/2		
Qvk	1000	kN	qvk	133	kN/m	qvk	150	kN/m
qvk	80	kN/m	α	1.1		α	1	
α	1	Per V>120 km/h						
α	1.1	Per V<120 km/h						
Qtk	135	Per V>120 km/h						
	105	Per V<120 km/h						
Qtk scelto	135							
qtk	11	Per V>120 km/h	qtk	10	Per V=100 km/h	qtk	10	Per V=100 km/h
	8	Per V<120 km/h						
qtk scelto	11							
L calc= L-6.4m	33.6	m	L calc	30	m	L calc	33	m
qtk*Lcalc	364	kN	qtk*Lcalc	290	kN	qtk*Lcalc	327	kN
FT= (qtk*Lcalc + qtk)/2	250	kN	FT= qtk*Lcalc /2	145		FT= qtk*Lcalc /2	164	

Forza centrifuga dx

L	50	m	L ₀	48	m
velocità di progetto	160	km/h	σ_3 Coeff. Dinamico	1.051	
raggio planimetrico	1300	m			
f	0.79	Per V>120 km/h			
f	1	Per V<120 km/h			

Treno LM 71			Treno SW/0			Treno SW/2		
Qvk	1000	kN	qvk	133	kN/m	qvk	150	kN/m
qvk	80	kN/m	α	1.1		α	1	
α	1	Per V>120 km/h						
α	1.1	Per V<120 km/h						
Qtk	129	Per V>120 km/h						
	101	Per V<120 km/h						
Qtk scelto	129							
qtk	10	Per V>120 km/h	qtk	9	Per V=100 km/h	qtk	10	Per V=100 km/h
	8	Per V<120 km/h						
qtk scelto	10							
L calc= L-6.4m	43.6	m	L calc	30	m	L calc	43	m
qtk*Lcalc	450	kN	qtk*Lcalc	279	kN	qtk*Lcalc	411	kN
FT= (qtk*Lcalc + qtk)/2	290	kN	FT= qtk*Lcalc /2	140		FT= qtk*Lcalc /2	205	

	DIRETTRICE FERROVIARIA MESSINA - CATANIA - PALERMO NUOVO COLLEGAMENTO PALERMO - CATANIA PROGETTO DEFINITIVO VI04 - Viadotto ferroviario a Singolo Binario					
	RELAZIONE DI CALCOLO PILA 2/5	COMMESSA RS3V	LOTTO 40	CODIFICA D 09 CL	DOCUMENTO VI 04 05 002	REV. B

4.6.7 Azione sismica

Nel seguente paragrafo è riportata la valutazione dei parametri di pericolosità sismica utili alla determinazione delle azioni sismiche di progetto dell'opera cui si riferisce il presente documento, in accordo a quanto specificato a riguardo dal D.M. 17 gennaio 2018 e relativa circolare applicativa.

➤ Valori di progetto

La pericolosità sismica di base è stata definita sulla base delle coordinate geografiche del sito di realizzazione dell'opera:

FASE 1. INDIVIDUAZIONE DELLA PERICOLOSITÀ DEL SITO

Ricerca per coordinate

LONGITUDINE: LATTITUDINE:

Ricerca per comune

REGIONE: PROVINCIA: COMUNE:

Reticolo di riferimento

Controllo sul reticolo

Sito esterno al reticolo

Interpolazione su 3 nodi

Interpolazione corretta

Interpolazione:

Elaborazioni grafiche


Grafici spettri di risposta

Variabilità dei parametri

Elaborazioni numeriche

Tabella parametri

Nodi del reticolo intorno al sito



La "Ricerca per comune" utilizza le coordinate ISTAT del comune per identificare il sito. Si sottolinea che all'interno del territorio comunale le azioni sismiche possono essere significativamente diverse da quelle così individuate e si consiglia, quindi, la "Ricerca per coordinate".

INTRO
FASE 1
FASE 2
FASE 3

I parametri utilizzati per la definizione dell'azione sismica sono riportati di seguito.

FASE 2. SCELTA DELLA STRATEGIA DI PROGETTAZIONE

Vita nominale della costruzione (in anni) - V_N info

Coefficiente d'uso della costruzione - c_U info

Valori di progetto

Periodo di riferimento per la costruzione (in anni) - V_R info

Periodi di ritorno per la definizione dell'azione sismica (in anni) - T_R info

Stati limite di esercizio - SLE

SLO - $P_{VR} = 81\%$	<input type="text" value="120"/>
SLD - $P_{VR} = 63\%$	<input type="text" value="201"/>

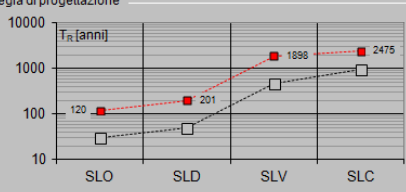
Stati limite ultimi - SLU

SLV - $P_{VR} = 10\%$	<input type="text" value="1898"/>
SLC - $P_{VR} = 5\%$	<input type="text" value="2475"/>

Elaborazioni

- Grafici parametri azione
- Grafici spettri di risposta
- Tabella parametri azione

Strategia di progettazione



LEGENDA GRAFICO

- Strategia per costruzioni ordinarie
-□..... Strategia scelta

L'azione sismica è stata calcolata per mezzo del foglio di calcolo Spettri-NTCver.1.0.3 messo a disposizione dal Consiglio Superiore dei Lavori Pubblici.

Di seguito si riportano gli spettri di risposta orizzontale e verticale allo Stato limite di salvaguardia della vita SLV utilizzati per il calcolo dell'azione sismica.

FASE 3. DETERMINAZIONE DELL'AZIONE DI PROGETTO

Stato Limite

Stato Limite considerato **SLV** info

Risposta sismica locale

Categoria di sottosuolo **C** info $S_B = 1.442$ $C_D = 1.269$ info

Categoria topografica **T1** info $h/H = 1.000$ $S_T = 1.000$ info
(In quota sito, H=altezza rilievo topografico)

Compon. orizzontale

Spettro di progetto elastico (SLE) Smorzamento ξ (%) $\eta = 1.000$ info

Spettro di progetto inelastico (SLU) Fattore q_s Regol. in altezza **si** info

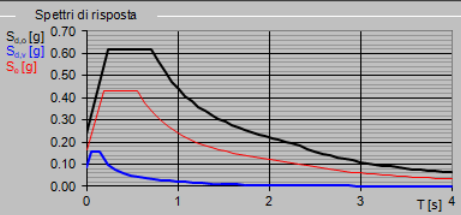
Compon. verticale

Spettro di progetto Fattore q_v $\eta = 0.667$ info

Elaborazioni

- Grafici spettri di risposta
- Parametri e punti spettri di risposta

Spettri di risposta



— Spettro di progetto - componente orizzontale
— Spettro di progetto - componente verticale
— Spettro elastico di riferimento (Cat. A-T1, $\xi = 5\%$)

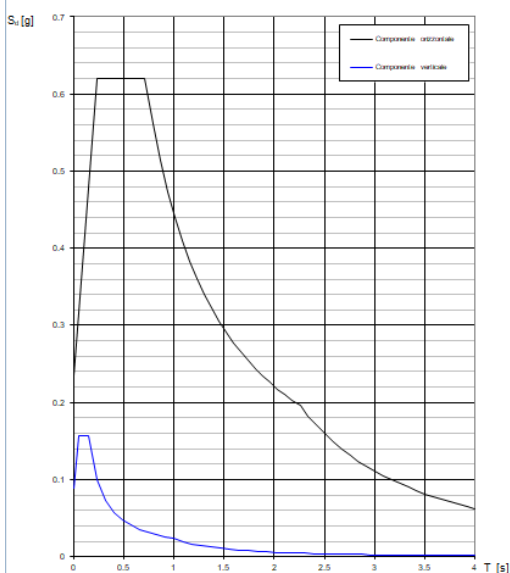
Parametri indipendenti

STATO LIMITE	SLV
a_n	0.164 g
F_n	2.624
T_c^*	0.564 s
S_S	1.442
C_r	1.269
S_T	1.000
q	1.000

Parametri dipendenti

S	1.442
η	1.000
T_B	0.238 s
T_C	0.715 s
T_D	2.255 s

Spettri di risposta (componenti orizz. e vert.) per lo stato lim SLV



➤ Calcolo dell'azione Sismica

Per il calcolo delle azioni sismiche si utilizza una Analisi Statica Lineare, come riportata nel cap. 7.9.4.1 delle Normative. Qualora le ipotesi non siano soddisfatte, si è fatto riferimento ad una Analisi Dinamica Modale, attraverso la costruzione di un modello tridimensionale agli Elementi Finiti semplificato.

I Fattori di struttura utilizzati sono:

- $q= 1.5$ per la verifica a presso flessione della pila
- $q= 1.5/1.1$ per la verifica a capacità portante verticale dei pali e verifica del plinto
- $q= 1$ per le verifiche a taglio degli elementi strutturali (vedi anche punto successivo), verifiche a capacità portante orizzontale dei pali.
- Solo per la verifica a taglio dello spiccato della pila, il criterio adottato è quello della gerarchia delle resistenze, così come indicato al punto 7.9.5 delle NTC
- Per l'azione sismica verticale si adotta $q=1$

Condizione Sismica			
Massa sismica impalcato dir x	mix	13719	kN
Massa efficace pila dir x	mpx	3504	kN
Massa complessiva dir x	mix + mpx	17223	kN
1/5 Massa sismica impalcato dir x	mix/5	2744	kN
Verifica requisito dir x		no	
Massa sismica impalcato dir. y	mi _y	12451	kN
Massa efficace pila dir. Y	mp _y	3504	kN
Massa complessiva dir. Y	mi _y + mp _y	15955	kN
1/5 Massa sismica impalcato dir. Y	mi _y /5	2490	kN
Verifica requisito dir. Y		no	
Massa sismica impalcato dir. z	mi _z	12451	kN
Massa efficace pila dir. Z	mp _z	3504	kN
Massa complessiva dir. Z	mi _z + mp _z	15955	kN
1/5 Massa sismica impalcato dir. Z	mi _z /5	2490	kN
Verifica requisito dir. Z		no	

Inerzia Pila asse y	J _{yy}	19.0	m ⁴
Inerzia Pila asse x	J _{xx}	85.3	m ⁴
Area Pila	A _p	12.70	m ²
Rigidità Pila asse y	K _y	283009014.8	N/m
Rigidità Pila asse x	K _x	1270983909	N/m
rigidità Pila asse z	K _z	25390400000	N/m
Periodo x	T _x	0.49	s
Periodo y	T _y	0.22	s
Periodo z	T _z	0.05	s

Accelerazione orizzontale Se(Tx) direzione x	a _g x	0.62	
Accelerazione orizzontale Se(Ty) direzione y	a _g y	0.62	
Accelerazione Verticale Se(Tz) direzione z	a _g z	0.12	

q=1.5

Accelerazione orizzontale Sd(Tx) direzione x	a _g x	0.41	
Accelerazione orizzontale Sd(Ty) direzione y	a _g y	0.41	
Accelerazione Verticale Sd(Tz) direzione z	a _g z	0.12	

q=1.36

Accelerazione orizzontale Sd(Tx) direzione x	a _g x	0.46	
Accelerazione orizzontale Sd(Ty) direzione y	a _g y	0.46	
Accelerazione Verticale Sd(Tz) direzione z	a _g z	0.12	

q=1

Accelerazione orizzontale Sd(Tx) direzione x	a _g x	0.6	
Accelerazione orizzontale Sd(Ty) direzione y	a _g y	0.6	
Accelerazione Verticale Sd(Tz) direzione z	a _g z	0.118244	

Condizione Sismica - Taglienti Totali

q=1.5

Tagliante direzione x	F x	7141	kN
Tagliante direzione y	F y	6616	kN
Tagliante direzione z	F z	1887	kN

q=1.36

Tagliante direzione x	F x	7877	kN
Tagliante direzione y	F y	7297	kN
Tagliante direzione z	F z	1887	kN

q=1

Tagliante direzione x	F x	10712	kN
Tagliante direzione y	F y	9924	kN
Tagliante direzione z	F z	1887	kN

4.6.8 *Analisi Dinamica Lineare*

Non essendo soddisfatti i criteri per l'analisi statica si svolge una Analisi Dinamica Lineare. L'analisi viene svolta considerando per la pila una rigidezza non fessurata e fessurata con riduzione della rigidezza pari ad al 50%.

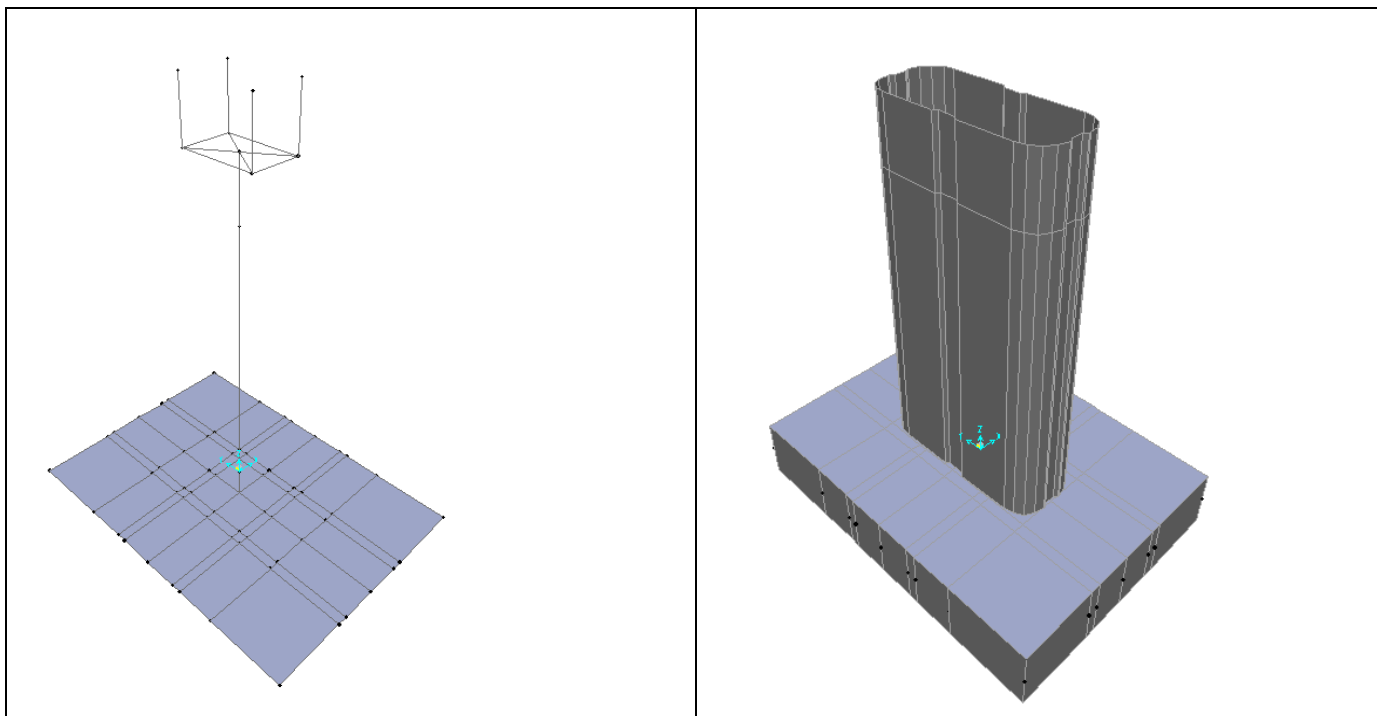


Figura 4: Modello FEM

Si riportano di seguito i risultati della analisi modale:

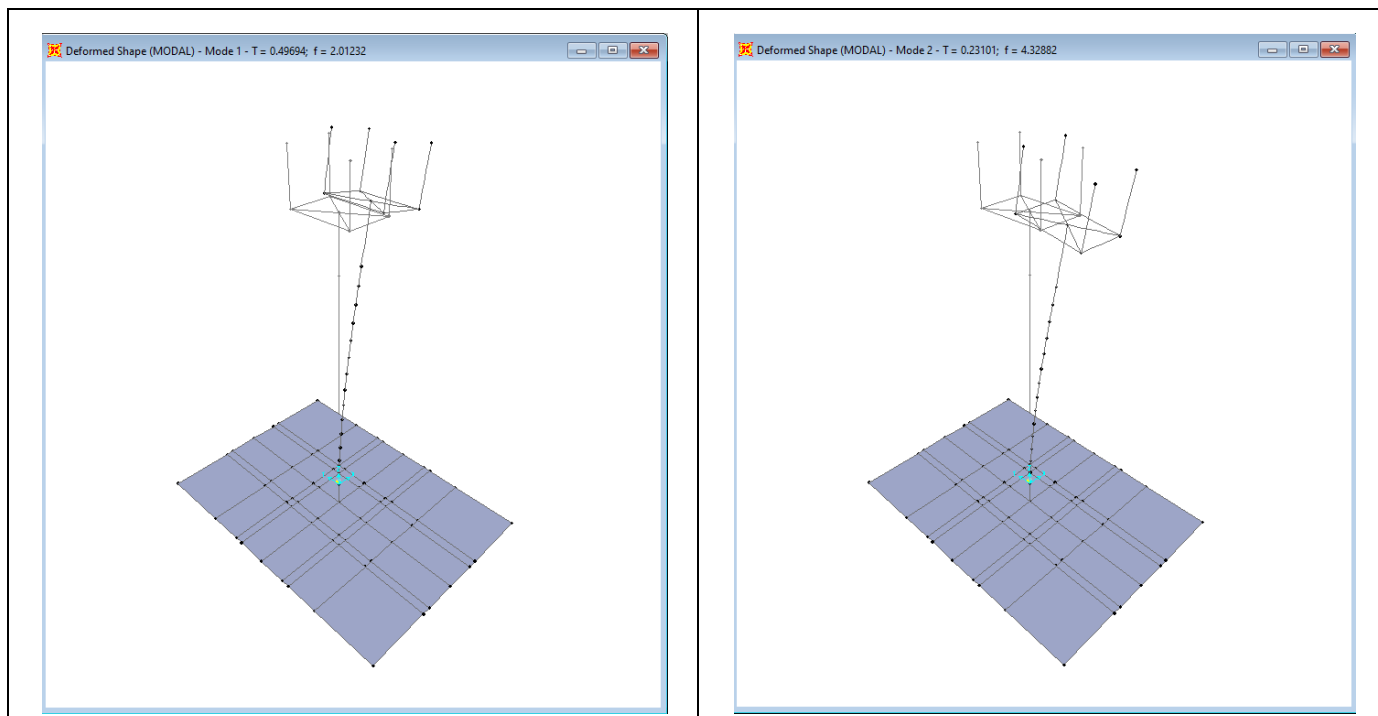


Figura 5: Modello FEM – Analisi Modale (100% rigidezza)

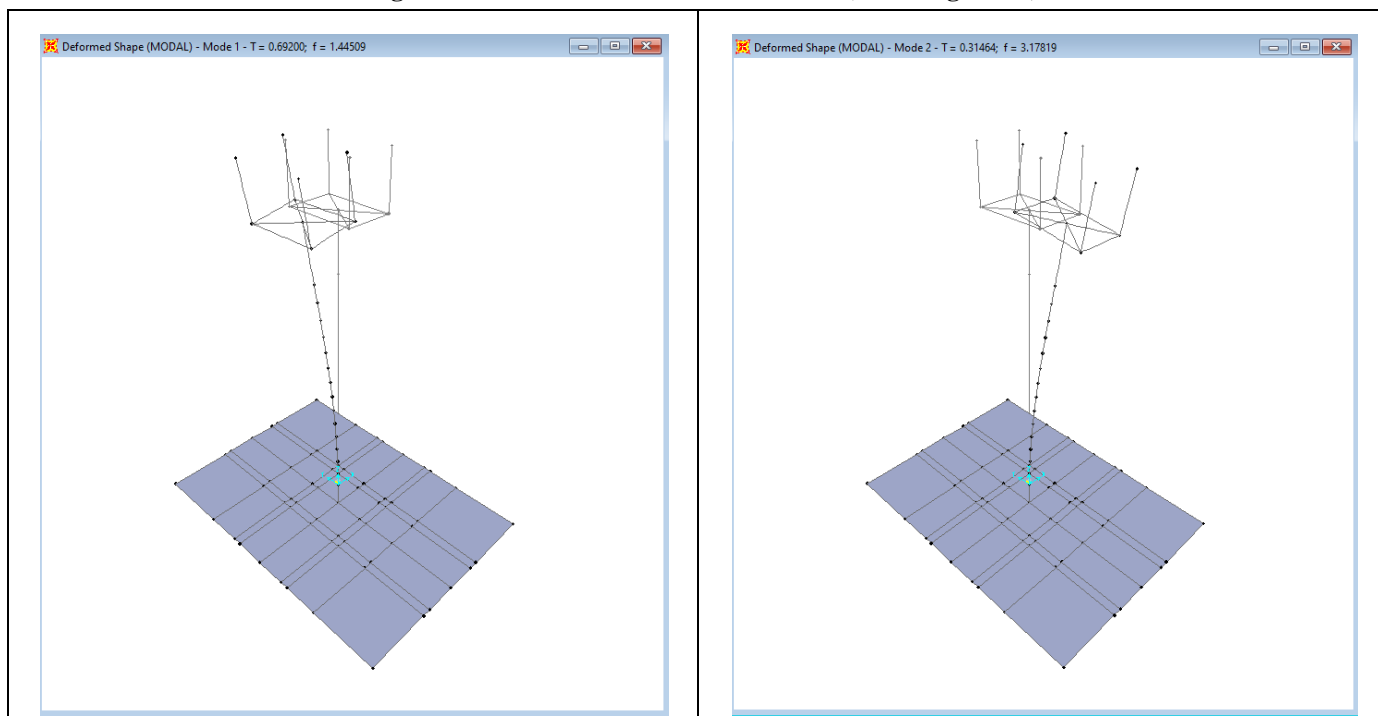


Figura 6: Modello FEM – Analisi Modale (50% rigidezza)

	DIRETTRICE FERROVIARIA MESSINA - CATANIA - PALERMO NUOVO COLLEGAMENTO PALERMO - CATANIA PROGETTO DEFINITIVO VI04 - Viadotto ferroviario a Singolo Binario					
	RELAZIONE DI CALCOLO PILA 2/5	COMMESSA RS3V	LOTTO 40	CODIFICA D 09 CL	DOCUMENTO VI 04 05 002	REV. B

4.6.9 Calcolo delle sollecitazioni in testa pali

Le sollecitazioni agenti in testa palo vengono calcolate nell'ipotesi di platea di fondazione infinitamente rigida, attraverso la relazione

$$R(x, y) = \frac{N}{n} + \frac{M_l}{J_l} \cdot y + \frac{M_t}{J_t} \cdot x$$

dove

N, M_l, M_t sono lo sforzo normale e i momenti flettenti longitudinale e trasversale agenti al baricentro della palificata, n è il numero di pali e J_l, J_t sono le inerzie longitudinale e trasversale della palificata

$$J_l = \sum y_i^2 \qquad J_t = \sum x_i^2$$

Per quanto riguarda le sollecitazioni orizzontali in testa palo, si assume che le azioni di taglio di ripartiscano uniformemente tra i pali, risultando

$$T(x, y) = \frac{\sqrt{H_l^2 + H_t^2}}{n}$$

dove H_l, H_t sono le forze orizzontali longitudinale e trasversale agenti al baricentro della palificata.

4.6.10 Riepilogo risultati

Il foglio automatico, sulla base di calcoli sviluppati nei fogli successivi, restituisce, per ciascuna combinazione i risultati del controllo di verifica.

Per ciascuna combinazione vengono riassunti:

- Le sollecitazioni al livello del piano di fondazione in termini di sforzo normale N , forza orizzontale T e momento ribaltante M .
- Per i carichi sui pali in termini di N_{\max}, N_{\min}, T ed M .

SPICCATO PILA: condizione statica

Descrizione carico	F _Z	F _X	F _Y	b _{ix}	b _{iy}	b _{iz}	M _x	M _y
	[kN]	[kN]	[kN]	[m]	[m]	[m]	[kNm]	[kNm]
Pila	6360			0.00	0.00	0	0	0
Vento su pila dir. x		311		0.00	0.00	16.50	0	5137
Vento su pila dir. y			63.5	0.00	0.00	16.50	1048	0

INTRADOSSO FONDAZIONE: condizione statica

Descrizione carico	F _Z	F _X	F _Y	b _{ix}	b _{iy}	b _{iz}	M _x	M _y
	[kN]	[kN]	[kN]	[m]	[m]	[m]	[kNm]	[kNm]
Pila	6360			0.00	0.00	0	0	0
Plinto	14850			0.00	0.00	1.50	0.00	0
Rinterro	3375			0.00	0.00	0.00	0.00	0
Vento su pila dir. x		311		0.00	0.00	19.50	0	6071
Vento su pila dir. y			63.5	0.00	0.00	19.50	1239	0

INTRADOSSO FONDAZIONE: condizione sismica

Descrizione carico	F _Z	F _X	F _Y	b _{ix}	b _{iy}	b _{iz}	M _x	M _y
	[kN]	[kN]	[kN]	[m]	[m]	[m]	[kNm]	[kNm]
Plinto sisma x		3512		0.00	0.00	1.50	0.00	5268
Plinto sisma y			3512	0.00	0.00	1.50	5268	0
Plinto sisma z	1756			0.00	0.00	1.50	0	0
Rinterro sisma z	399			0.00	0.00	0.00	0	0

4.7 Sollecitazioni

4.7.1 Base Pila

CARATTERISTICHE DELLA SOLLECITAZIONE INTERNA ALLA BASE DELLA PILA							
			Nz,A [kN]	Tx,A [kN]	Ty,A [kN]	Mxx [kNm]	Myy [kNm]
SLU GEO	Nz,A _{max}	A2 - SLU - N max gr.1	25978	1520	2263	45336	29786
	Tx,A _{max}	A2 - SLU - ML max gr.3	23714	2705	792	14851	58428
	Ty,A _{max}	A2 - SLU - MT max gr.1	25379	1520	2475	49893	31008
	Mxx _{max}	A2 - SLU - MT max gr.1	25379	1520	2475	49893	31008
	Myy _{max}	A2 - SLU - ML max gr.3	23714	2705	792	14851	58428
SLU STR	Nz,A _{max}	A1 - SLU - N max gr.1	32439	1829	2683	53547	35819
	Tx,A _{max}	A1 - SLU - ML max gr.3	29813	3202	983	18328	69050
	Ty,A _{max}	A1 - SLU - MT max gr.1	31744	1829	2929	58832	37237
	Mxx _{max}	A1 - SLU - MT max gr.1	31744	1829	2929	58832	37237
	Myy _{max}	A1 - SLU - ML max gr.3	29813	3202	983	18328	69050
SLE RARA	Nz,A _{max}	SLE rara - N max gr.1	23037	1285	1843	36705	25140
	Tx,A _{max}	SLE rara - ML max gr.3	21226	2225	702	13040	47931
	Ty,A _{max}	SLE rara - MT max gr.1	22558	1285	2013	40350	26118
	Mxx _{max}	SLE rara - MT max gr.1	22558	1285	2013	40350	26118
	Myy _{max}	SLE rara - ML max gr.3	21226	2225	702	13040	47931
SLE FREQUENTE	Nz,A _{max}	SLE freq.- N max gr.1	21981	1096	830	16062	21597
	Tx,A _{max}	SLE freq.- N max gr.3	21981	1699	662	12444	33614
	Ty,A _{max}	SLE freq.- MT max gr.1	21598	1096	966	18978	22379
	Mxx _{max}	SLE freq.- MT max gr.1	21598	1096	966	18978	22379
	Myy _{max}	SLE freq.- ML max gr.3	20532	1699	630	11591	37363
SLE Q.P.		SLE quasi permanente	17756	342	342	5795	7422
SLV q=1.5	Nz,A _{max}	SLV - N max	20701	2653	2278	43672	52318
	Tx,A _{max}	SLV - ML max gr.1	19017	7652	2262	43284	149493
	Ty,A _{max}	SLV - MT max gr.1	19283	2653	6943	133551	52513
	Mxx _{max}	SLV - MT max gr.1	19283	2653	6943	133551	52513
	Myy _{max}	SLV - ML max gr.3	17884	7652	2262	43284	149493
SLV q=1.36	Nz,A _{max}	SLV - N max	20701	2873	2482	47543	56564
	Tx,A _{max}	SLV - ML max gr.1	19017	8387	2466	47217	163646
	Ty,A _{max}	SLV - MT max gr.1	19283	2873	7624	146614	56759
	Mxx _{max}	SLV - MT max gr.1	19283	2873	7624	146614	56759
	Myy _{max}	SLV - ML max gr.3	17884	8387	2466	47217	163646
SLV q=1	Nz,A _{max}	SLV - N max	20701	3724	3270	62775	72940
	Tx,A _{max}	SLV - ML max gr.1	19017	11223	3254	62388	218235
	Ty,A _{max}	SLV - MT max gr.1	19283	3724	10251	197230	73136
	Mxx _{max}	SLV - MT max gr.1	19283	3724	10251	197230	73136
	Myy _{max}	SLV - ML max gr.3	17884	11223	3254	62388	218235

Tabella 3 – Sollecitazioni della base della pila – Analisi Statica

TABLE: Section Cut Forces - Analysis

SectionCut	OutputCase	CaseType	StepType	GlobalFX	GlobalFY	GlobalFZ	GlobalMX	GlobalMY
Text	Text	Text	Text	KN	KN	KN	KN-m	KN-m
base pila	EX_1	Combination	Max	10605	2965	18907	54162	193005
base pila	EX_1	Combination	Min	-10605	-2965	18907	-53933	-196050
base pila	EY_1	Combination	Max	3182	9881	18907	180208	56840
base pila	EY_1	Combination	Min	-3182	-9881	18907	-179980	-59885
base pila	EX_2	Combination	Max	10605	2965	18531	54162	193005
base pila	EX_2	Combination	Min	-10605	-2965	18531	-53933	-196050
base pila	EY_2	Combination	Max	3182	9881	18531	180208	56840
base pila	EY_2	Combination	Min	-3182	-9881	18531	-179980	-59885
base pila	EZ_1	Combination	Max	3182	2965	19346	54147	56837
base pila	EZ_1	Combination	Min	-3181	-2965	19346	-53918	-59882
base pila	EZ_2	Combination	Max	3182	2965	18092	54147	56837
base pila	EZ_2	Combination	Min	-3181	-2965	18092	-53918	-59882
				10605	9881		180208	196050

Tabella 4 – Sollecitazioni della base della pila Dinamica 50%(EI)
TABLE: Section Cut Forces - Analysis

SectionCut	OutputCase	CaseType	StepType	GlobalFX	GlobalFY	GlobalFZ	GlobalMX	GlobalMY
Text	Text	Text	Text	KN	KN	KN	KN-m	KN-m
base pila	EX_1	Combination	Max	10623	2930	18907	53383	193217
base pila	EX_1	Combination	Min	-10623	-2930	18907	-53154	-196262
base pila	EY_1	Combination	Max	3187	9766	18907	177642	56901
base pila	EY_1	Combination	Min	-3187	-9766	18907	-177413	-59947
base pila	EX_2	Combination	Max	10623	2930	18531	53383	193217
base pila	EX_2	Combination	Min	-10623	-2930	18531	-53154	-196262
base pila	EY_2	Combination	Max	3187	9766	18531	177642	56901
base pila	EY_2	Combination	Min	-3187	-9766	18531	-177413	-59947
base pila	EZ_1	Combination	Max	3187	2930	19346	53375	56900
base pila	EZ_1	Combination	Min	-3187	-2930	19346	-53146	-59945
base pila	EZ_2	Combination	Max	3187	2930	18092	53375	56900
base pila	EZ_2	Combination	Min	-3187	-2930	18092	-53146	-59945
				10623	9766		177642	196262

Tabella 5 – Sollecitazioni della base della pila Dinamica 100%(EI)

Come si può vedere dai valori massimi indicati in grassetto (per $q=1$), le sollecitazioni della Analisi Lineare Statica sono superiori rispetto a quelli ottenuti dall'analisi Dinamica; pertanto in favore di sicurezza si adatteranno quelli ricavate dalla Analisi Lineare Statica.

4.7.2 Plinto di fondazione

Nella tabella che segue sono indicati la risultante e momento risultante rispetto al baricentro del plinto di fondazione.

CARATTERISTICHE DELLA SOLLECITAZIONE INTERNA INTRADOSSO FONDAZIONE							
			Nz,A [kN]	Tx,A [kN]	Ty,A [kN]	Mxx [kNm]	Myy [kNm]
SLU GEO	Nz,A _{max}	A2 - SLU - N max gr.1	45215	1520	2263	52125	34347
	Tx,A _{max}	A2 - SLU - ML max gr.3	42952	2705	792	17226	66542
	Ty,A _{max}	A2 - SLU - MT max gr.1	44617	1520	2475	57319	35570
	Mxx _{max}	A2 - SLU - MT max gr.1	44617	1520	2475	57319	35570
	Myy _{max}	A2 - SLU - ML max gr.3	42952	2705	792	17226	66542
SLU STR	Nz,A _{max}	A1 - SLU - N max gr.1	57549	1829	2683	61595	41305
	Tx,A _{max}	A1 - SLU - ML max gr.3	54923	3202	983	21278	78657
	Ty,A _{max}	A1 - SLU - MT max gr.1	56854	1829	2929	67620	42723
	Mxx _{max}	A1 - SLU - MT max gr.1	56854	1829	2929	67620	42723
	Myy _{max}	A1 - SLU - ML max gr.3	54923	3202	983	21278	78657
SLE RARA	Nz,A _{max}	SLE rara - N max gr.1	41263	1285	1843	42234	28994
	Tx,A _{max}	SLE rara - ML max gr.3	39452	2225	702	15145	54605
	Ty,A _{max}	SLE rara - MT max gr.1	40784	1285	2013	46389	29972
	Mxx _{max}	SLE rara - MT max gr.1	40784	1285	2013	46389	29972
	Myy _{max}	SLE rara - ML max gr.3	39452	2225	702	15145	54605
SLE FREQUENTE	Nz,A _{max}	SLE freq.- N max gr.1	40206	1096	830	18551	24885
	Tx,A _{max}	SLE freq.- N max gr.3	40206	1699	662	14429	38710
	Ty,A _{max}	SLE freq.- MT max gr.1	39823	1096	966	21875	25667
	Mxx _{max}	SLE freq.- MT max gr.1	39823	1096	966	21875	25667
	Myy _{max}	SLE freq.- ML max gr.3	38758	1699	630	13480	42459
SLE Q.P.		SLE quasi permanente	35982	342	342	6821	8448
SLV q=1.5	Nz,A _{max}	SLV - N max	41081	3706	3331	52085	61856
	Tx,A _{max}	SLV - ML max gr.1	37888	11164	3315	51650	177718
	Ty,A _{max}	SLV - MT max gr.1	38155	3706	10455	159648	62052
	Mxx _{max}	SLV - MT max gr.1	38155	3706	10455	159648	62052
	Myy _{max}	SLV - ML max gr.1	37888	11164	3315	51650	177718
SLV q=1.36	Nz,A _{max}	SLV - N max	41081	3927	3536	56569	66764
	Tx,A _{max}	SLV - ML max gr.1	37888	11899	3520	56196	194076
	Ty,A _{max}	SLV - MT max gr.1	38155	3927	11136	174753	66959
	Mxx _{max}	SLV - MT max gr.1	38155	3927	11136	174753	66959
	Myy _{max}	SLV - ML max gr.1	37888	11899	3520	56196	194076
SLV q=1	Nz,A _{max}	SLV - N max	41081	4778	4324	74166	85693
	Tx,A _{max}	SLV - ML max gr.1	37888	14735	4308	73731	257172
	Ty,A _{max}	SLV - MT max gr.1	38155	4778	13763	233251	85888
	Mxx _{max}	SLV - MT max gr.1	38155	4778	13763	233251	85888
	Myy _{max}	SLV - ML max gr.1	37888	14735	4308	73731	257172

Tabella 6 – Sollecitazioni ad intradosso del baricentro fondazione

TABLE: Base Reactions

OutputCase	CaseType	StepType	GlobalFX	GlobalFY	GlobalFZ	GlobalMX	GlobalMY
Text	Text	Text	KN	KN	KN	KN-m	KN-m
EX_1	Combination	Max	11133	3142	37398	54217	193167
EX_1	Combination	Min	-11133	-3142	37398	-53988	-196213
EY_1	Combination	Max	3340	10468	37398	180391	56888
EY_1	Combination	Min	-3340	-10468	37398	-180163	-59934
EX_2	Combination	Max	11133	3142	36130	54217	193167
EX_2	Combination	Min	-11133	-3142	36130	-53988	-196213
EY_2	Combination	Max	3340	10468	36130	180391	56888
EY_2	Combination	Min	-3340	-10468	36130	-180163	-59934
EZ_1	Combination	Max	3340	3141	38876	54202	56885
EZ_1	Combination	Min	-3340	-3141	38876	-53973	-59931
EZ_2	Combination	Max	3340	3141	34652	54202	56885
EZ_2	Combination	Min	-3340	-3141	34652	-53973	-59931
			11133	10468		180391	196213

Tabella 7 – Sollecitazioni intradosso fondazione - Dinamica 50%(EI)
TABLE: Base Reactions

OutputCase	CaseType	StepType	GlobalFX	GlobalFY	GlobalFZ	GlobalMX	GlobalMY
Text	Text	Text	KN	KN	KN	KN-m	KN-m
EX_1	Combination	Max	11150	3108	37398	53438	193379
EX_1	Combination	Min	-11150	-3108	37398	-53210	-196425
EY_1	Combination	Max	3345	10359	37398	177827	56950
EY_1	Combination	Min	-3345	-10359	37398	-177599	-59995
EX_2	Combination	Max	11150	3108	36130	53438	193379
EX_2	Combination	Min	-11150	-3108	36130	-53210	-196425
EY_2	Combination	Max	3345	10359	36130	177827	56950
EY_2	Combination	Min	-3345	-10359	36130	-177599	-59995
EZ_1	Combination	Max	3345	3108	38876	53431	56948
EZ_1	Combination	Min	-3345	-3108	38876	-53202	-59994
EZ_2	Combination	Max	3345	3108	34652	53431	56948
EZ_2	Combination	Min	-3345	-3108	34652	-53202	-59994
			11150	10359		177827	196425

Tabella 8 – Sollecitazioni intradosso fondazione - Dinamica 50%(EI)

Come si può vedere dai valori massimi indicati in grassetto (per $q=1$), le sollecitazioni della Analisi Lineare Statica sono superiori rispetto a quelle ottenute dall'analisi Dinamica; pertanto in favore di sicurezza si adotteranno quelle ricavate dalla Analisi Lineare Statica.

4.8 Pali di fondazione

Le sollecitazioni risultanti sono riportati nelle seguenti tabelle:

SOLL. TOTALI NEL BARICENTRO DELLA PALIFICATA								
C.C.	N	T _x	T _y	M _x	M _y	N _{max/palo}	N _{min/palo}	T _{/palo}
n°	kN	kN	kN	kNm	kNm	kN	kN	kN
AI - SLU - N max gr.1	57549	1829	2683	61595	41305	7312	2280	271
AI - SLU - MT max gr.1	56854	1829	2929	67620	42723	7427	2048	288
AI - SLU - ML max gr.1	54923	2109	1230	27313	53564	6672	2482	203
AI - SLU - N max gr.3	57549	2922	2378	54124	66398	7843	1749	314
AI - SLU - MT max gr.3	56854	2922	2502	57099	67816	7890	1585	321
AI - SLU - ML max gr.3	54923	3202	983	21278	78657	7235	1919	279
AI - SLU - Vento ponte scarico	49891	462	1841	40726	11512	5382	2933	158
AI - SLU Gmin - N max gr.1	34864	1829	2683	61595	39908	5383	428	271
AI - SLU Gmin - MT max gr.1	34169	1829	2929	67620	41326	5498	197	288
AI - SLU Gmin - ML max gr.1	32238	2109	1230	27313	52167	4743	630	203
AI - SLU Gmin - N max gr.3	34864	2922	2378	54124	65000	5914	-103	314
AI - SLU Gmin - MT max gr.3	34169	2922	2502	57099	66418	5961	-266	321
AI - SLU Gmin - ML max gr.3	32238	3202	983	21278	77259	5305	68	279
AI - SLU Gmin - Vento ponte scarico	27206	342	1721	38339	7728	3334	1201	146
						7890	-266	321

Tabella 9 – Sollecitazioni massime sul singolo palo C.C. SLU

SOLL. TOTALI NEL BARICENTRO DELLA PALIFICATA								
C.C.	N	T _x	T _y	M _x	M _y	N _{max/palo}	N _{min/palo}	T _{/palo}
n°	kN	kN	kN	kNm	kNm	kN	kN	kN
SLV - N max	41081	3927	3536	56569	66764	6535	312	440
SLV - MT max gr.1	38155	3927	11136	174753	66959	8923	-2564	984
SLV - ML max gr.1	37888	11899	3520	56196	194076	9797	-3482	1034
SLV - MT max gr.3	35729	3927	11136	174753	66959	8721	-2766	984
SLV - ML max gr.3	35463	11899	3520	56196	194076	9595	-3685	1034
SLV - N min	32995	3927	3536	56569	66764	5861	-362	440
						9797	-3685	1034

Tabella 10 – Sollecitazioni massime sul singolo palo C.C. SLV q=1.36

SOLL. TOTALI NEL BARICENTRO DELLA PALIFICATA								
C.C.	N	T _x	T _y	M _x	M _y	N _{max/palo}	N _{min/palo}	T _{/palo}
n°	kN	kN	kN	kNm	kNm	kN	kN	kN
SLV - N max	41081	4778	4324	74166	85693	7452	-605	537
SLV - MT max gr.1	38155	4778	13763	233251	85888	10749	-4390	1214
SLV - ML max gr.1	37888	14735	4308	73731	257172	11940	-5625	1279
SLV - MT max gr.3	35729	4778	13763	233251	85888	10547	-4592	1214
SLV - ML max gr.3	35463	14735	4308	73731	257172	11737	-5827	1279
SLV - N min	32995	4778	4324	74166	85693	6778	-1279	537
						11940	-5827	1279

Tabella 11 – Sollecitazioni massime sul singolo palo C.C. SLV q=1

SOLL. TOTALI NEL BARICENTRO DELLA PALIFICATA

C.C. n°	N kN	T _x kN	T _y kN	M _x kNm	M _y kNm	N _{max/palo} kN	N _{min/palo} kN	T _{/palo} kN
SLE rara - N max gr.1	41263	1285	1843	42234	28994	6219	1796	187
SLE rara - MT max gr.1	40784	1285	2013	46389	29972	6383	1664	199
SLE rara - ML max gr.1	39452	1472	872	19307	37323	5450	1645	143
SLE rara - N max gr.3	41263	2038	1633	37082	46276	6651	1225	218
SLE rara - MT max gr.3	40784	2038	1718	39133	47254	6730	1121	222
SLE rara - ML max gr.3	39452	2225	702	15145	54605	5922	1061	194
SLE rara - Vento ponte scarico	35982	342	1261	27833	8448	4436	2311	109
						6730	1061	222

Tabella 12 – Sollecitazioni massime sul singolo palo C.C. SLE

4.9 Verifiche degli elementi strutturali

Per tutti gli elementi strutturali della pila vengono svolte le seguenti verifiche:

- verifiche a rottura (pressoflessione e taglio) per le combinazioni allo stato limite ultimo (SLU).
- verifiche tensionali per le combinazioni rare, frequenti e quasi permanenti (SLE)
- verifiche a fessurazione per le combinazioni rara (SLE)

RELAZIONE DI CALCOLO PILA 2/5

COMMESSA	LOTTO	CODIFICA	DOCUMENTO	REV.	FOGLIO
RS3V	40	D 09 CL	VI 04 05 002	B	38 di 64

4.9.1 Pila

Taglio di progetto:

Direzione		Long.(Myy,Tx)	Trasv(Mxx,Ty)	
Altezza pila	H	19.3	19.3	m
Fattore di struttura		1.5	1.5	
Fattore di sovrarresistenza (eq. 7.9.7)	γ_{Rd}	1	1	
Fattore di sovrarresistenza filtrato (eq. 7.9.7)	γ_{Rd}	1	1	
Taglio agente (q=1)	V	11223	10251	kN
Momento agente (q=1)	M	218235	197230	kN*m
Taglio agente (con q)	VEd	7652	6943	kN
Momento agente (con q)	MEd	149493	133551	kN*m
Momento Resistente	MRd	159309	279237	kN*m
Rapporto di sovrarresistenza	MRd/MEd	1.07	2.09	
Tipo sezione (EC8-2; eq. 6.11)		CRITICA	NON CRITICA	
Angolo inclinazione bielle compresse	Teta	45	da calc.	
Limite superiore Vgr	Vgr.max= V	11223	10251	kN
Taglio di progetto per la gerarchia della resistenza (eq. 7.9.12)	Vgr	8155	14517	kN
Taglio di progetto per la gerarchia della resistenza filtrato (eq. 7.9.12)	Vgr	8155	10251	kN
fattore di sicurezza aggiuntivo per la resistenza a taglio (eq. 7.9.10)	γ_{Bd}	1	1.23	
fattore di sicurezza aggiuntivo per la resistenza a taglio filtrato (eq. 7.9.10)	γ_{Bd}	1	1.23	
Riassumendo				
Taglio di calcolo	Vgr	8155	10251	kN
fattore di sicurezza aggiuntivo filtrato (eq. 7.9.10)	γ_{Bd}	1.00	1.23	
Angolo inclinazione bielle compresse	Teta	45	da calc.	

Taglio resistente:

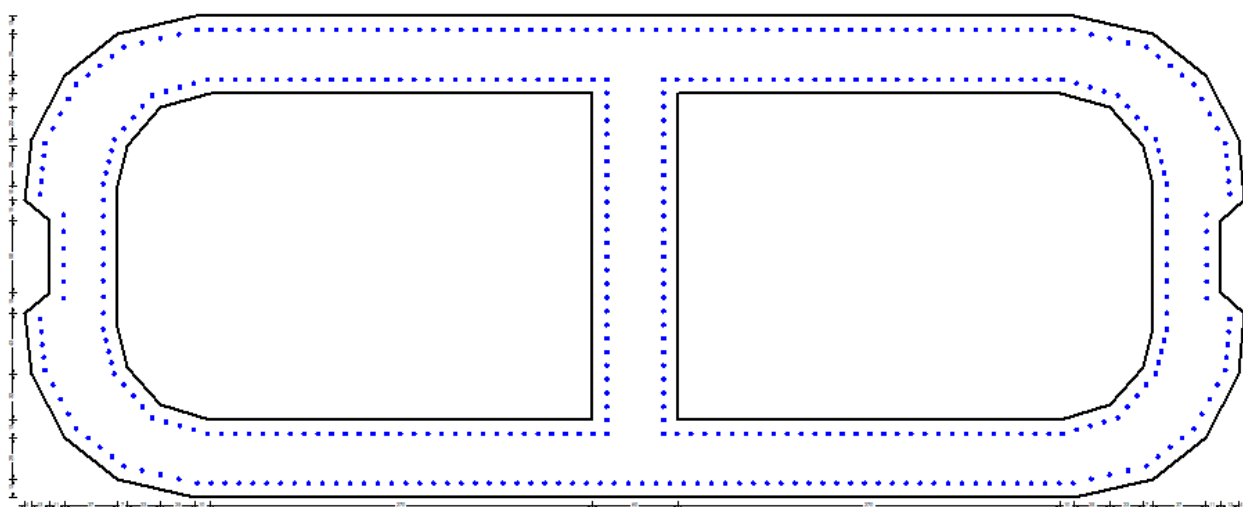
La resistenza a taglio viene valutata come somma dei contributi dati dalla 2 anime in direzione Y e 3 anime in direzione X della sezione cava:

RELAZIONE DI CALCOLO PILA 2/5

COMMESSA	LOTTO	CODIFICA	DOCUMENTO	REV.	FOGLIO
RS3V	40	D 09 CL	VI 04 05 002	B	39 di 64

dir. X			dir. Y		
Dati sezione			Dati sezione		
b	500	mm	b	550	mm
h	2300	mm	h	6200	mm
c	100	mm	c	100	mm
fck	32	Mpa	fck	32	Mpa
d	2200		d	6100	
Staffe			Staffe		
∅	16	mm	∅	16	mm
n	2		n	2	
s	100	mm	s	100	mm
α	1.57	rad	α	1.57	rad
θ	0.79	rad	θ	0.79	rad
ctgα	0.00		ctgα	0.00	
ctgθ	1.00		ctgθ	1.00	
f _{yd}	391	Mpa	f _{yd}	391	Mpa
f' _{cd}	9.07	MPa	f' _{cd}	9.07	MPa
VR _{sd}	3113.16	kN	VR _{sd}	8631.95	kN
VR _{cd}	4488.00	kN	VR _{cd}	13688.40	kN
VR _d	3113.16	kN	VR _d	8631.95	kN
3*VR _d	9339.5	kN	2*VR _d	17263.9	kN

La verifica risulta soddisfatta.



La sezione è armata con:

$A_s = \phi 26/10$

spille $9\phi 10/mq$

Nota: nella successiva fase progettuale si dovranno predisporre opportune armature trasversali all'interno delle zone dissipative atte a confinare adeguatamente il nucleo di calcestruzzo della sezione e contrastare l'instabilità delle barre verticali compresse al fine di garantire la necessaria duttilità strutturale come richiesto dal punto 7.9.6.1 della NTC 2018.

CARATTERISTICHE DI RESISTENZA DEI MATERIALI IMPIEGATI

CALCESTRUZZO -	Classe:	C32/40
	Resis. compr. di progetto fcd:	18.800 MPa
	Resis. compr. ridotta fcd':	9.400 MPa
	Def.unit. max resistenza ec2:	0.0020
	Def.unit. ultima ecu:	0.0035
	Diagramma tensione-deformaz.:	Parabola-Rettangolo
	Modulo Elastico Normale Ec:	33643.0 MPa
	Resis. media a trazione fctm:	3.100 MPa
	Coeff. Omogen. S.L.E.:	15.00
	Coeff. Omogen. S.L.E.:	15.00
	Sc limite S.L.E. comb. Frequenti:	182.60 daN/cm ²
	Ap.Fessure limite S.L.E. comb. Frequenti:	0.200 mm
	Sc limite S.L.E. comb. Q.Permanenti:	0.00 Mpa
	Ap.Fess.limite S.L.E. comb. Q.Perm.:	0.200 mm

CALCESTRUZZO -	Classe:	C20/25
	Resis. compr. di progetto fcd:	11.330 MPa
	Resis. compr. ridotta fcd':	9.400 MPa
	Def.unit. max resistenza ec2:	0.0020
	Def.unit. ultima ecu:	0.0035
	Diagramma tensione-deformaz.:	Parabola-Rettangolo
	Modulo Elastico Normale Ec:	29960.0 MPa
	Resis. media a trazione fctm:	2.210 MPa
	Coeff. Omogen. S.L.E.:	15.00
	Coeff. Omogen. S.L.E.:	15.00
	Sc limite S.L.E. comb. Frequenti:	110.00 daN/cm ²
	Ap.Fessure limite S.L.E. comb. Frequenti:	0.200 mm
	Sc limite S.L.E. comb. Q.Permanenti:	0.00 Mpa
	Ap.Fess.limite S.L.E. comb. Q.Perm.:	0.200 mm

CALCESTRUZZO -	Classe:	C20/25
	Resis. compr. di progetto fcd:	11.330 MPa
	Resis. compr. ridotta fcd':	9.400 MPa
	Def.unit. max resistenza ec2:	0.0020
	Def.unit. ultima ecu:	0.0035
	Diagramma tensione-deformaz.:	Parabola-Rettangolo
	Modulo Elastico Normale Ec:	29960.0 MPa
	Resis. media a trazione fctm:	2.210 MPa
	Coeff. Omogen. S.L.E.:	15.00
	Coeff. Omogen. S.L.E.:	15.00
	Sc limite S.L.E. comb. Frequenti:	110.00 daN/cm ²
	Ap.Fessure limite S.L.E. comb. Frequenti:	0.200 mm
	Sc limite S.L.E. comb. Q.Permanenti:	0.00 Mpa
	Ap.Fess.limite S.L.E. comb. Q.Perm.:	0.200 mm

ACCIAIO -	Tipo:	B450C
-----------	-------	-------

RELAZIONE DI CALCOLO PILA 2/5

COMMESSA	LOTTO	CODIFICA	DOCUMENTO	REV.	FOGLIO
RS3V	40	D 09 CL	VI 04 05 002	B	41 di 64

Resist. caratt. snervam. fyk:	450.00	MPa
Resist. caratt. rottura ftk:	450.00	MPa
Resist. snerv. di progetto fyd:	391.30	MPa
Resist. ultima di progetto ftd:	391.30	MPa
Deform. ultima di progetto Epu:	0.068	
Modulo Elastico Ef	2000000	daN/cm ²
Diagramma tensione-deformaz.:	Bilineare finito	
Coeff. Aderenza istantaneo $\beta_1 \cdot \beta_2$:	1.00	
Coeff. Aderenza differito $\beta_1 \cdot \beta_2$:	0.50	
Sf limite S.L.E. Comb. Rare:	337.50	MPa

CARATTERISTICHE DOMINI CONGLOMERATO

DOMINIO N° 1

Forma del Dominio: Poligonale
Classe Conglomerato: C32/40

N°vertice:	X [cm]	Y [cm]
1	310.0	170.0
2	365.0	157.0
3	402.0	128.0
4	426.0	83.0
5	430.0	40.0
6	413.0	25.0
7	413.0	-25.0
8	430.0	-40.0
9	426.0	-83.0
10	402.0	-128.0
11	365.0	-157.0
12	310.0	-170.0
13	-310.0	-170.0
14	-365.0	-157.0
15	-402.0	-128.0
16	-426.0	-83.0
17	-430.0	-40.0
18	-413.0	-25.0
19	-413.0	25.0
20	-430.0	40.0
21	-426.0	83.0
22	-402.0	128.0
23	-365.0	157.0
24	-310.0	170.0

DOMINIO N° 2

Forma del Dominio: Poligonale vuoto
Classe Conglomerato: C20/25

N°vertice:	X [cm]	Y [cm]
1	30.0	115.0
2	300.0	115.0
3	335.0	105.0
4	358.0	78.0
5	365.0	50.0
6	365.0	-50.0
7	358.0	-78.0
8	335.0	-105.0

RELAZIONE DI CALCOLO PILA 2/5

COMMESSA	LOTTO	CODIFICA	DOCUMENTO	REV.	FOGLIO
RS3V	40	D 09 CL	VI 04 05 002	B	42 di 64

9	300.0	-115.0
10	30.0	-115.0

DOMINIO N° 3

Forma del Dominio: Poligonale vuoto
Classe Conglomerato: C20/25

N°vertice:	X [cm]	Y [cm]
1	-30.0	-115.0
2	-300.0	-115.0
3	-335.0	-105.0
4	-358.0	-78.0
5	-365.0	-50.0
6	-365.0	50.0
7	-358.0	78.0
8	-335.0	105.0
9	-300.0	115.0
10	-30.0	115.0

DATI BARRE ISOLATE

N°Barra	X [cm]	Y [cm]	DiamØ[mm]
1	308.8	160.0	26
2	360.6	147.8	26
3	394.2	121.4	26
4	416.2	80.1	26
5	419.6	44.1	26
6	403.0	29.5	26
7	403.0	-29.5	26
8	419.6	-44.1	26
9	416.2	-80.1	26
10	394.2	-121.4	26
11	360.6	-147.8	26
12	308.8	-160.0	26
13	-308.8	-160.0	26
14	-360.6	-147.8	26
15	-394.2	-121.4	26
16	-416.2	-80.1	26
17	-419.6	-44.1	26
18	-403.0	-29.5	26
19	-403.0	29.5	26
20	-419.6	44.1	26
21	-416.2	80.1	26
22	-394.2	121.4	26
23	-360.6	147.8	26
24	-308.8	160.0	26
25	20.0	125.0	26
26	301.4	125.0	26
27	340.7	113.8	26
28	367.1	82.7	26
29	375.0	51.2	26
30	375.0	-51.2	26
31	367.1	-82.7	26
32	340.7	-113.8	26
33	301.4	-125.0	26
34	20.0	-125.0	26

RELAZIONE DI CALCOLO PILA 2/5

COMMESSA	LOTTO	CODIFICA	DOCUMENTO	REV.	FOGLIO
RS3V	40	D 09 CL	VI 04 05 002	B	43 di 64

35	-20.0	-125.0	26
36	-301.4	-125.0	26
37	-340.7	-113.8	26
38	-367.1	-82.7	26
39	-375.0	-51.2	26
40	-375.0	51.2	26
41	-367.1	82.7	26
42	-340.7	113.8	26
43	-301.4	125.0	26
44	-20.0	125.0	26

DATI GENERAZIONI LINEARI DI BARRE

N°Gen.	Numero assegnato alla singola generazione lineare di barre
N°Barra Ini.	Numero della barra iniziale cui si riferisce la generazione
N°Barra Fin.	Numero della barra finale cui si riferisce la generazione
N°Barre	Numero di barre generate equidistanti cui si riferisce la generazione
Ø	Diametro in mm delle barre della generazione

N°Gen.	N°Barra Ini.	N°Barra Fin.	N°Barre	Ø
1	24	1	62	26
2	12	13	62	26
3	34	33	28	26
4	35	36	28	26
5	25	26	28	26
6	43	44	28	26
7	34	25	25	26
8	35	44	25	26
9	1	2	3	26
10	2	3	3	26
11	3	4	3	26
12	4	5	3	26
13	6	7	4	26
14	9	8	3	26
15	9	10	3	26
16	10	11	3	26
17	11	12	3	26
18	13	14	3	26
19	14	15	3	26
20	15	16	3	26
21	16	17	3	26
22	19	18	4	26
23	21	20	3	26
24	21	22	3	26
25	22	23	3	26
26	23	24	3	26
27	26	27	3	26
28	27	28	3	26
29	28	29	3	26
30	29	30	8	26
31	30	31	3	26
32	31	32	3	26
33	32	33	3	26
34	36	37	3	26
35	37	38	3	26
36	38	39	3	26

RELAZIONE DI CALCOLO PILA 2/5

COMMESSA	LOTTO	CODIFICA	DOCUMENTO	REV.	FOGLIO
RS3V	40	D 09 CL	VI 04 05 002	B	44 di 64

37	39	40	8	26
38	40	41	3	26
39	41	42	3	26
40	42	43	3	26

ARMATURE A TAGLIO

Diametro staffe: 10 mm
 Passo staffe: 0.9 cm
 Staffe: Una sola staffa chiusa perimetrale

CALCOLO DI RESISTENZA - SFORZI PER OGNI COMBINAZIONE ASSEGNATA

N Sforzo normale [kN] applicato nel Baric. (+ se di compressione)
 Mx Momento flettente [kNm] intorno all'asse x princ. d'inerzia con verso positivo se tale da comprimere il lembo sup. della sez.
 My Momento flettente [kNm] intorno all'asse y princ. d'inerzia con verso positivo se tale da comprimere il lembo destro della sez.
 Vy Componente del Taglio [kN] parallela all'asse princ.d'inerzia y
 Vx Componente del Taglio [kN] parallela all'asse princ.d'inerzia x

N°Comb.	N	Mx	My	Vy	Vx
1	32438.52	35819.09	53546.63	0.00	0.00
2	29812.57	69049.88	18327.87	0.00	0.00
3	31743.97	37237.19	58832.32	0.00	0.00
4	31743.97	37237.19	58832.32	0.00	0.00
5	29812.57	69049.88	18327.87	0.00	0.00
6	20700.55	52317.78	43671.51	0.00	0.00
7	19016.75	149493.43	43284.27	8155.00	0.00
8	19283.15	52513.38	133551.17	0.00	10251.00
9	19283.15	52513.38	133551.17	0.00	0.00
10	17883.95	149493.43	43284.27	0.00	0.00

COMB. RARE (S.L.E.) - SFORZI PER OGNI COMBINAZIONE ASSEGNATA

N Sforzo normale [kN] applicato nel Baricentro (+ se di compressione)
 Mx Momento flettente [kNm] intorno all'asse x princ. d'inerzia (tra parentesi Mom.Fessurazione) con verso positivo se tale da comprimere il lembo superiore della sezione
 My Momento flettente [kNm] intorno all'asse y princ. d'inerzia (tra parentesi Mom.Fessurazione) con verso positivo se tale da comprimere il lembo destro della sezione

N°Comb.	N	Mx	My
1	23037.00	25140.00	36705.00
2	21226.00	47931.00	13040.00
3	22558.00	26118.00	40350.00
4	22558.00	26118.00	40350.00
5	21226.00	47931.00	13040.00

COMB. FREQUENTI (S.L.E.) - SFORZI PER OGNI COMBINAZIONE ASSEGNATA

N Sforzo normale [kN] applicato nel Baricentro (+ se di compressione)
 Mx Momento flettente [kNm] intorno all'asse x princ. d'inerzia (tra parentesi Mom.Fessurazione) con verso positivo se tale da comprimere il lembo superiore della sezione
 My Momento flettente [kNm] intorno all'asse y princ. d'inerzia (tra parentesi Mom.Fessurazione) con verso positivo se tale da comprimere il lembo destro della sezione

RELAZIONE DI CALCOLO PILA 2/5

COMMESSA	LOTTO	CODIFICA	DOCUMENTO	REV.	FOGLIO
RS3V	40	D 09 CL	VI 04 05 002	B	45 di 64

N°Comb.	N	Mx	My
1	21981.00	21597.00 (77735.16)	16062.00 (57812.76)
2	21981.00	33614.00 (55041.99)	12444.00 (20376.71)
3	21598.00	22379.00 (63706.10)	18978.00 (54024.50)
4	21598.00	22379.00 (63706.10)	18978.00 (54024.50)
5	20532.00	37363.00 (49249.13)	11591.00 (15278.39)

COMB. QUASI PERMANENTI (S.L.E.) - SFORZI PER OGNI COMBINAZIONE ASSEGNATA

N	Sforzo normale [kN] applicato nel Baricentro (+ se di compressione)
Mx	Momento flettente [kNm] intorno all'asse x princ. d'inerzia (tra parentesi Mom.Fessurazione) con verso positivo se tale da comprimere il lembo superiore della sezione
My	Momento flettente [kNm] intorno all'asse y princ. d'inerzia (tra parentesi Mom.Fessurazione) con verso positivo se tale da comprimere il lembo destro della sezione

N°Comb.	N	Mx	My
1	17756.00	7422.00 (0.00)	5795.00 (0.00)

RISULTATI DEL CALCOLO

Sezione verificata per tutte le combinazioni assegnate

Copriferro netto minimo barre longitudinali:	8.7 cm
Interferro netto minimo barre longitudinali:	5.5 cm
Copriferro netto minimo staffe:	7.7 cm

VERIFICHE DI RESISTENZA IN PRESSO-TENSO FLESSIONE ALLO STATO LIMITE ULTIMO

Ver	S = combinazione verificata / N = combin. non verificata
N	Sforzo normale assegnato [kN] nel baricentro B sezione cls.(positivo se di compressione)
Mx	Componente del momento assegnato [kNm] riferito all'asse x princ. d'inerzia
My	Componente del momento assegnato [kNm] riferito all'asse y princ. d'inerzia
N Res	Sforzo normale resistente [kN] nel baricentro B sezione cls.(positivo se di compress.)
Mx Res	Momento flettente resistente [kNm] riferito all'asse x princ. d'inerzia
My Res	Momento flettente resistente [kNm] riferito all'asse y princ. d'inerzia
Mis.Sic.	Misura sicurezza = rapporto vettoriale tra (N r,Mx Res,My Res) e (N,Mx,My) Verifica positiva se tale rapporto risulta >=1.000
As Totale	Area totale barre longitudinali [cm²]. [Tra parentesi il valore minimo di normativa]

N°Comb	Ver	N	Mx	My	N Res	Mx Res	My Res	Mis.Sic.	As Totale
1	S	32438.52	35819.09	53546.63	32438.54	147812.88	223180.76	4.162325.5(380.9)	
2	S	29812.57	69049.88	18327.87	29812.62	172407.92	46177.79	2.502325.5(380.9)	
3	S	31743.97	37237.19	58832.32	31744.17	145121.78	229363.67	3.902325.5(380.9)	
4	S	31743.97	37237.19	58832.32	31744.17	145121.78	229363.67	3.902325.5(380.9)	
5	S	29812.57	69049.88	18327.87	29812.62	172407.92	46177.79	2.502325.5(380.9)	
6	S	20700.55	52317.78	43671.51	20700.64	153776.29	128458.87	2.942325.5(380.9)	
7	S	19016.75	149493.43	43284.27	19016.96	159309.87	46415.23	1.072325.5(380.9)	
8	S	19283.15	52513.38	133551.17	19282.94	110651.65	279237.93	2.092325.5(380.9)	
9	S	19283.15	52513.38	133551.17	19282.94	110651.65	279237.93	2.092325.5(380.9)	
10	S	17883.95	149493.43	43284.27	17883.73	157966.31	45147.59	1.062325.5(380.9)	

METODO AGLI STATI LIMITE ULTIMI - DEFORMAZIONI UNITARIE ALLO STATO ULTIMO

ec max	Deform. unit. massima del conglomerato a compressione
	Deform. unit. massima del conglomerato a compressione

RELAZIONE DI CALCOLO PILA 2/5

COMMESSA	LOTTO	CODIFICA	DOCUMENTO	REV.	FOGLIO
RS3V	40	D 09 CL	VI 04 05 002	B	46 di 64

Xc max	Ascissa in cm della fibra corrisp. a ec max (sistema rif. X,Y,O sez.)
Yc max	Ordinata in cm della fibra corrisp. a ec max (sistema rif. X,Y,O sez.)
es min	Deform. unit. minima nell'acciaio (negativa se di trazione)
Xs min	Ascissa in cm della barra corrisp. a es min (sistema rif. X,Y,O sez.)
Ys min	Ordinata in cm della barra corrisp. a es min (sistema rif. X,Y,O sez.)
es max	Deform. unit. massima nell'acciaio (positiva se di compress.)
Xs max	Ascissa in cm della barra corrisp. a es max (sistema rif. X,Y,O sez.)
Ys max	Ordinata in cm della barra corrisp. a es max (sistema rif. X,Y,O sez.)

N°Comb	ec max	Xc max	Yc max	es min	Xs min	Ys min	es max	Xs max	Ys max
1	0.00350	365.0	157.0	0.00328	360.6	147.8	-0.00742	-360.6	-147.8
2	0.00350	310.0	170.0	0.00302	308.8	160.0	-0.01334	-308.8	-160.0
3	0.00350	365.0	157.0	0.00328	360.6	147.8	-0.00736	-360.6	-147.8
4	0.00350	365.0	157.0	0.00328	360.6	147.8	-0.00736	-360.6	-147.8
5	0.00350	310.0	170.0	0.00302	308.8	160.0	-0.01334	-308.8	-160.0
6	0.00350	310.0	170.0	0.00315	308.8	160.0	-0.01074	-308.8	-160.0
7	0.00350	310.0	170.0	0.00297	308.8	160.0	-0.01507	-308.8	-160.0
8	0.00350	365.0	157.0	0.00331	360.6	147.8	-0.00778	-360.6	-147.8
9	0.00350	365.0	157.0	0.00331	360.6	147.8	-0.00778	-360.6	-147.8
10	0.00350	310.0	170.0	0.00297	308.8	160.0	-0.01534	-308.8	-160.0

POSIZIONE ASSE NEUTRO PER OGNI COMB. DI RESISTENZA

a, b, c	Coeff. a, b, c nell'eq. dell'asse neutro $aX+bY+c=0$ nel rif. X,Y,O gen.
x/d	Rapp. di duttilità (travi e solette)[§ 4.1.2.1.2.1 NTC]: deve essere < 0.45
C.Rid.	Coeff. di riduz. momenti per sola flessione in travi continue

N°Comb	a	b	c	x/d	C.Rid.
1	0.000006172	0.000021131	-0.002070289	----	----
2	0.000001944	0.000047381	-0.005157410	----	----
3	0.000006343	0.000020529	-0.002038165	----	----
4	0.000006343	0.000020529	-0.002038165	----	----
5	0.000001944	0.000047381	-0.005157410	----	----
6	0.000004422	0.000034870	-0.003798863	----	----
7	0.000002098	0.000052324	-0.006045538	----	----
8	0.000008693	0.000016325	-0.002235800	----	----
9	0.000008693	0.000016325	-0.002235800	----	----
10	0.000002069	0.000053224	-0.006189318	----	----

VERIFICHE A TAGLIO

Diam. Staffe:	10 mm
Passo staffe:	0.9 cm [Passo massimo di normativa = 25.0 cm]

Ver	S = comb. verificata a taglio / N = comb. non verificata
Ved	Taglio di progetto [kN] = proiezz. di Vx e Vy sulla normale all'asse neutro
Vcd	Taglio compressione resistente [kN] lato conglomerato [formula (4.1.28)NTC]
Vwd	Taglio resistente [kN] assorbito dalle staffe [(4.1.18) NTC]
d z	Altezza utile media pesata sezione ortogonale all'asse neutro Braccio coppia interna [cm] Vengono prese nella media le strisce con almeno un estremo compresso. I pesi della media sono costituiti dalle stesse lunghezze delle strisce.
bw	Larghezza media resistente a taglio [cm] misurate parallel. all'asse neutro E' data dal rapporto tra l'area delle sopradette strisce resistenti e Dmed.
Ctg	Cotangente dell'angolo di inclinazione dei puntoni di conglomerato
Acw	Coefficiente maggiorativo della resistenza a taglio per compressione
Ast	Area staffe+legature strettam. necessarie a taglio per metro di pil.[cm ² /m]
A.Eff	Area staffe+legature efficaci nella direzione del taglio di combinaz.[cm ² /m] Tra parentesi è indicata la quota dell'area relativa alle sole legature.

RELAZIONE DI CALCOLO PILA 2/5

COMMESSA	LOTTO	CODIFICA	DOCUMENTO	REV.	FOGLIO
RS3V	40	D 09 CL	VI 04 05 002	B	47 di 64

L'area della legatura è ridotta col fattore L/d_{max} con $L=lungh.legat.proietta-$
ta sulla direz. del taglio e d_{max} = massima altezza utile nella direz.del taglio.

N°Comb	Ver	Ved	Vcd	Vwd	d z	bw	Ctg	Acw	Ast	A.Eff
1	S	0.00	18303.39	7073.32113.6	103.6	331.0	1.000	1.136	0.0	174.5(0.0)
2	S	0.00	30017.58	13401.86206.2	196.2	289.3	1.000	1.125	0.0	174.5(0.0)
3	S	0.00	18066.71	6801.19110.0	99.6	340.7	1.000	1.133	0.0	174.5(0.0)
4	S	0.00	18066.71	6801.19110.0	99.6	340.7	1.000	1.133	0.0	174.5(0.0)
5	S	0.00	30017.58	13401.86206.2	196.2	289.3	1.000	1.125	0.0	174.5(0.0)
6	S	0.00	24553.42	11237.86174.5	164.5	292.1	1.000	1.087	0.0	174.5(0.0)
7	S	8148.45	28610.14	13405.04206.3	196.3	287.2	1.000	1.080	106.1	174.5(0.0)
8	S	4818.06	13802.89	5137.75 90.9	75.2	361.2	1.000	1.081	163.7	174.5(0.0)
9	S	0.00	13802.89	5137.75 90.9	75.2	361.2	1.000	1.081	0.0	174.5(0.0)
10	S	0.00	28683.39	13482.74207.4	197.4	287.6	1.000	1.075	0.0	174.5(0.0)

COMBINAZIONI RARE IN ESERCIZIO - MASSIME TENSIONI NORMALI ED APERTURA FESSURE (NTC/EC2)

Ver	S = comb. verificata/ N = comb. non verificata
Sc max	Massima tensione (positiva se di compressione) nel conglomerato [Mpa]
Xc max, Yc max	Ascissa, Ordinata [cm] del punto corrisp. a Sc max (sistema rif. X,Y,O)
Sf min	Minima tensione (negativa se di trazione) nell'acciaio [Mpa]
Xs min, Ys min	Ascissa, Ordinata [cm] della barra corrisp. a Sf min (sistema rif. X,Y,O)
Ac eff.	Area di calcestruzzo [cm²] in zona tesa considerata aderente alle barre
As eff.	Area barre [cm²] in zona tesa considerate efficaci per l'apertura delle fessure

N°Comb	Ver	Sc max	Xc max	Yc max	Sf min	Xs min	Ys min	Ac eff.	As eff.
1	S	4.75	365.0	157.0	-34.9	-360.6	-147.8	10260	196.4
2	S	6.07	310.0	170.0	-96.8	-308.8	-160.0	32068	615.9
3	S	5.04	365.0	157.0	-42.8	-360.6	-147.8	11581	217.7
4	S	5.04	365.0	157.0	-42.8	-360.6	-147.8	11581	217.7
5	S	6.07	310.0	170.0	-96.8	-308.8	-160.0	32068	615.9

COMBINAZIONI RARE IN ESERCIZIO - APERTURA FESSURE [§ 7.3.4 EC2]

Ver.	La sezione viene assunta sempre fessurata anche nel caso in cui la trazione minima del calcestruzzo sia inferiore a f_{ctm}
e1	Esito della verifica
e2	Massima deformazione unitaria di trazione nel calcestruzzo (trazione -) valutata in sezione fessurata
k1	Minima deformazione unitaria di trazione nel calcestruzzo (trazione -) valutata in sezione fessurata
kt	= 0.8 per barre ad aderenza migliorata [eq.(7.11)EC2]
k2	= 0.4 per comb. quasi permanenti / = 0.6 per comb.frequenti [cfr. eq.(7.9)EC2]
k3	= 0.5 per flessione; $=(e1 + e2)/(2 * e1)$ per trazione eccentrica [eq.(7.13)EC2]
k4	= 3.400 Coeff. in eq.(7.11) come da annessi nazionali
Ø	= 0.425 Coeff. in eq.(7.11) come da annessi nazionali
Cf	Diametro [mm] equivalente delle barre tese comprese nell'area efficace Ac eff [eq.(7.11)EC2]
e sm - e cm	Copri ferro [mm] netto calcolato con riferimento alla barra più tesa
sr max	Differenza tra le deformazioni medie di acciaio e calcestruzzo [(7.8)EC2 e (C4.1.7)NTC]
wk	Tra parentesi: valore minimo = $0.6 S_{max} / E_s$ [(7.9)EC2 e (C4.1.8)NTC]
Mx fess.	Massima distanza tra le fessure [mm]
My fess.	Apertura fessure in mm calcolata = $sr \max * (e_{sm} - e_{cm})$ [(7.8)EC2 e (C4.1.7)NTC]. Valore limite tra parentesi
	Componente momento di prima fessurazione intorno all'asse X [kNm]
	Componente momento di prima fessurazione intorno all'asse Y [kNm]

Comb.	Ver	e1	e2	k2	Ø	Cf	e sm - e cm	sr max	wk	Mx fess	My fess
1	S	-0.00018	0	0.500	26.0	87	0.00010 (0.00010)	527	0.055 (0.20)	38464.53	56159.14
2	S	-0.00051	0	0.500	26.0	87	0.00029 (0.00029)	526	0.153 (0.20)	43878.60	11937.51
3	S	-0.00023	0	0.500	26.0	87	0.00013 (0.00013)	531	0.068 (0.20)	34754.52	53692.66
4	S	-0.00023	0	0.500	26.0	87	0.00013 (0.00013)	531	0.068 (0.20)	34754.52	53692.66

RELAZIONE DI CALCOLO PILA 2/5

COMMESSA	LOTTO	CODIFICA	DOCUMENTO	REV.	FOGLIO
RS3V	40	D 09 CL	VI 04 05 002	B	48 di 64

5 S -0.00051 0 0.500 26.0 87 0.00029 (0.00029) 526 0.153 (0.20) 43878.60 11937.51

COMBINAZIONI FREQUENTI IN ESERCIZIO - MASSIME TENSIONI NORMALI ED APERTURA FESSURE (NTC/EC2)

N°Comb	Ver	Sc max	Xc max	Yc max	Sf min	Xs min	Ys min	Ac eff.	As eff.
1	S	3.42	310.0	170.0	-10.6	-308.8	-160.0	4117	95.6
2	S	4.54	310.0	170.0	-41.0	-308.8	-160.0	16271	350.4
3	S	3.60	310.0	170.0	-15.1	-308.8	-160.0	5559	116.8
4	S	3.60	310.0	170.0	-15.1	-308.8	-160.0	5559	116.8
5	S	4.88	310.0	170.0	-59.4	-308.8	-160.0	25318	520.3

COMBINAZIONI FREQUENTI IN ESERCIZIO - APERTURA FESSURE [§ 7.3.4 EC2]

Comb.	Ver	e1	e2	k2	Ø	Cf	e sm - e cm sr max	wk	Mx fess	My fess	
1	S	-0.00006	0	0.500	26.0	87	0.00003 (0.00003)	486	0.015 (0.20)	77735.16	57812.76
2	S	-0.00022	0	0.500	26.0	87	0.00012 (0.00012)	501	0.062 (0.20)	55041.99	20376.71
3	S	-0.00008	0	0.500	26.0	87	0.00005 (0.00005)	506	0.023 (0.20)	63706.10	54024.50
4	S	-0.00008	0	0.500	26.0	87	0.00005 (0.00005)	506	0.023 (0.20)	63706.10	54024.50
5	S	-0.00031	0	0.500	26.0	87	0.00018 (0.00018)	511	0.091 (0.20)	49249.13	15278.39

COMBINAZIONI QUASI PERMANENTI IN ESERCIZIO - MASSIME TENSIONI NORMALI ED APERTURA FESSURE (NTC/EC2)

N°Comb	Ver	Sc max	Xc max	Yc max	Sf min	Xs min	Ys min	Ac eff.	As eff.
1	S	1.78	310.0	170.0	6.6	-308.8	-160.0	----	----

COMBINAZIONI QUASI PERMANENTI IN ESERCIZIO - APERTURA FESSURE [§ 7.3.4 EC2]

Comb.	Ver	e1	e2	k2	Ø	Cf	e sm - e cm sr max	wk	Mx fess	My fess	
1	S	0.00000	0.00000	----	----	----	----	----	0.000 (0.20)	0.00	0.00

4.9.2 Zattera di fondazione

Per la valutazione delle sollecitazioni nel plinto di fondazione, è necessario valutare preventivamente le sollecitazioni agenti nei pali di fondazione. Tali sollecitazioni sono state valutate mediante una ripartizione rigida delle sollecitazioni agenti a base plinto.

Si vedano i paragrafi precedenti da cui risulta :

$$N_{\max} = 7890 \text{ kN (CC. SLU)}$$

$$N_{\max} = 9797 \text{ kN (CC. SLV } q=1.36)$$

$$T_{\max} = 1034 \text{ kN (CC. SLV } q=1.36)$$

Il plinto fondazione è stato verificato ipotizzando un meccanismo di tirante puntone. Si riporta di seguito la verifica. La larghezza di diffusione è stata valutata in corrispondenza del filo esterno della pila, mediante una

diffusione a 45° a partire dal piano medio del palo (vedi figura seguente), mentre l'altezza della biella compressa è stata valutata pari a 0.2 d_p (con d_p altezza utile della sezione del plinto).

La verifica è stata eseguita in corrispondenza del palo più sollecitato.

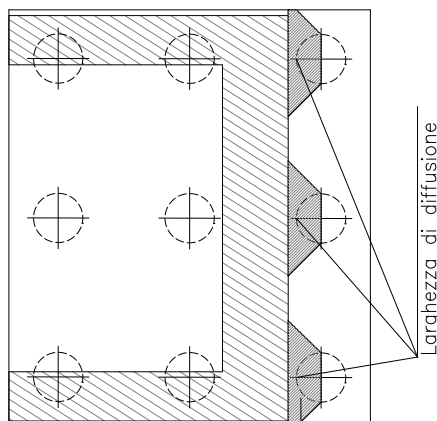
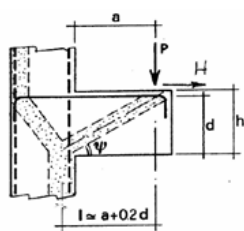


Figura 1 – Diffusione delle azioni dal palo alla pila

Di seguito si riportano i risultati delle verifiche strutturali del plinto di fondazione, condotte con riferimento al metodo usualmente utilizzato per la verifica delle mensole tozze, ovvero il metodo del tirante-puntone, di cui nel seguito si riporta lo schema e di verifica generale e relative formulazioni proposte a riguardo al C4.1.2.1.5 dalla Circolare Ministeriale n° 7/19

VERIFICA - MECCANISMO TIRANTE PUNTO.



P, H : Carichi Esterni di Progetto (P_{Fn}, H_{Fn})

Pr : Portanza mensola in termini di resistenza dell'armatura metallica

$$P_R = P_{R_s} = (A_s f_{yd} - H_{Ed}) \frac{1}{\lambda} \quad \lambda = \text{ctg} \psi \geq 1 / (0,9d)$$

Pr : Portanza mensola in termini di resistenza della Biella compressa

$$P_{Rc} = 0,4 b d f_{cd} \frac{c}{1 + \lambda^2} \geq P_{R_s}$$

CONDIZIONI DI VERIFICA

- 1 $P_R \geq P_{Ed}$
- 2 $\quad \geq P_{R_s}$

RELAZIONE DI CALCOLO PILA 2/5

COMMESSA	LOTTO	CODIFICA	DOCUMENTO	REV.	FOGLIO
RS3V	40	D 09 CL	VI 04 05 002	B	50 di 64

Dati di progetto

$b(m) =$	5.00	m	dimensione trasversale verifica
$P_{Ed} (KN) =$	9797.00	KN	Carico complessivo VERTICALE sulla fascia di dimensione b
$H_{Ed} (KN) =$	1034.00	KN	Carico complessivo ORIZZONTALE sulla fascia di dimensione b
$a(m) =$	4.20	m	distanza P da incastro
$h(m) =$	3.00	m	spessore mensola
$\delta(m) =$	0.10	m	copriferro riferito al baricentro delle armature complessive in trazione
$d(m) =$	2.90	m	altezza utile
$l(m) =$	4.78	m	$a+0,2d$
$\lambda =$	1.83		$\lambda = ctg\psi \leq l/(0,9d)$

Tipo di mensola (Valutazione coefficiente c)

sblazi di piastre (no staffatura)

$c(m) =$ 1.00

Caratteristiche Materiali

$f_{cd} =$	14.1	MPa	Calcestruzzo
$f_{yd} =$	391.0	MPa	Acciaio

Caratteristiche Armature di Progetto

<u>Registro tipo</u> R1							
$n^{\circ} R1 =$	1	$\phi 1(mm) =$	26.0	$p1(cm) =$	10.0	$\theta 1^{\circ} =$	0.0
$A_{\phi i} (mm^2) =$	530.93	$nb \text{ tot } 1 =$	50.0	$A_{\phi \text{ TOT}} (mm^2) =$	26546.44	$A_{\phi \text{ CAL}} (mm^2) =$	26546.44
<u>Registro tipo</u> R2							
$n^{\circ} R2 =$	1	$\phi 2(mm) =$	26.0	$p2(cm) =$	10.0	$\theta 2^{\circ} =$	0.0
$A_{\phi i} (mm^2) =$	530.93	$nb \text{ tot } 2 =$	50.0	$A_{\phi \text{ TOT}} (mm^2) =$	26546.44	$A_{\phi \text{ CAL}} (mm^2) =$	26546.44
<u>Registro tipo</u> R3							
$n^{\circ} R3 =$	0	$\phi 3(mm) =$	26.0	$p3(cm) =$	10.0	$\theta 3^{\circ} =$	0.0
$A_{\phi i} (mm^2) =$	530.93	$nb \text{ tot } 3 =$	0.0	$A_{\phi \text{ TOT}} (mm^2) =$	0.00	$A_{\phi \text{ CAL}} (mm^2) =$	0.00

Verifiche di resistenza

$\Psi =$ rad = °

$P_{RS} =$ KN

$P_{RC} =$ KN

4.9.3 Palo di fondazione $L=34.0m$

Viene verificata la sezione di incastro con la platea di fondazione.

Il momento flettente agente in testa palo viene derivato dal taglio in testa palo nell'ipotesi di elasticità lineare sia per il palo che per il terreno. Risulta

$$M = T * \alpha$$

$$\alpha = 2.8 \text{ (vedi relazione geotecnica)}$$

$$N_{\max} = 11940 \text{ kN} \quad T = 1279 \text{ kN} \quad M = 1279 * 2.8 = 3581 \text{ kNm}$$

$$N_{\min} = -5827 \text{ kN} \quad T = 1279 \text{ kN} \quad M = 1279 * 2.8 = 3581 \text{ kNm}$$

$$N = -5727 \text{ kN} \quad T = 1279 \text{ kN} \quad M_{\max} = 1279 * 2.8 = 3581 \text{ kNm}$$

Caratteristiche della sezione:

Sezione circolare $\varnothing 150 \text{ cm}$

$$A_s = 30 + 30 \varnothing 26 \quad \text{staffe } \varnothing 14/15$$

La lunghezza del palo è pari a $L = 34.00m$

CARATTERISTICHE DI RESISTENZA DEI MATERIALI IMPIEGATI

CALCESTRUZZO -	Classe:	C25/30	
	Resis. compr. di progetto fcd:	14.160	MPa
	Resis. compr. ridotta fcd':	7.080	MPa
	Def.unit. max resistenza ec2:	0.0020	
	Def.unit. ultima ecu:	0.0035	
	Diagramma tensione-deformaz.:	Parabola-Rettangolo	
	Modulo Elastico Normale Ec:	31475.0	MPa
	Resis. media a trazione fctm:	2.560	MPa
	Coeff. Omogen. S.L.E.:	15.00	
	Coeff. Omogen. S.L.E.:	15.00	
	Sc limite S.L.E. comb. Frequenti:	137.50	daN/cm ²
	Ap.Fessure limite S.L.E. comb. Frequenti:	0.200	mm
	ACCIAIO -	Tipo:	B450C
Resist. caratt. snervam. fyk:		450.00	MPa
Resist. caratt. rottura ftk:		450.00	MPa
Resist. snerv. di progetto fyd:		391.30	MPa
Resist. ultima di progetto ftd:		391.30	MPa
Deform. ultima di progetto Epu:		0.068	
Modulo Elastico Ef		2000000	daN/cm ²
Diagramma tensione-deformaz.:		Bilineare finito	
Coeff. Aderenza istantaneo $\beta_1 * \beta_2$:		1.00	
Coeff. Aderenza differito $\beta_1 * \beta_2$:		0.50	
Sf limite S.L.E. Comb. Rare:	337.50	MPa	

CARATTERISTICHE DOMINIO CONGLOMERATO



DIRETTRICE FERROVIARIA MESSINA - CATANIA - PALERMO
NUOVO COLLEGAMENTO PALERMO - CATANIA
PROGETTO DEFINITIVO
VI04 - Viadotto ferroviario a Singolo Binario

RELAZIONE DI CALCOLO PILA 2/5

COMMESSA	LOTTO	CODIFICA	DOCUMENTO	REV.	FOGLIO
RS3V	40	D 09 CL	VI 04 05 002	B	52 di 64

Forma del Dominio: Circolare
 Classe Conglomerato: C25/30

Raggio circ.: 75.0 cm
 X centro circ.: 0.0 cm
 Y centro circ.: 0.0 cm

DATI GENERAZIONI CIRCOLARI DI BARRE

N°Gen. Numero assegnato alla singola generazione circolare di barre
 Xcentro Ascissa [cm] del centro della circonferenza lungo cui sono disposte le barre generate
 Ycentro Ordinata [cm] del centro della circonferenza lungo cui sono disposte le barre generate
 Raggio Raggio [cm] della circonferenza lungo cui sono disposte le barre generate
 N°Barre Numero di barre generate equidist. disposte lungo la circonferenza
 Ø Diametro [mm] della singola barra generata

N°Gen.	Xcentro	Ycentro	Raggio	N°Barre	Ø
1	0.0	0.0	65.0	30	26
2	0.0	0.0	60.0	30	26

ARMATURE A TAGLIO

Diametro staffe: 8 mm
 Passo staffe: 6.8 cm
 Staffe: Una sola staffa chiusa perimetrale

CALCOLO DI RESISTENZA - SFORZI PER OGNI COMBINAZIONE ASSEGNATA

N Sforzo normale [kN] applicato nel Baric. (+ se di compressione)
 Mx Momento flettente [kNm] intorno all'asse x princ. d'inerzia con verso positivo se tale da comprimere il lembo sup. della sez.
 My Momento flettente [kNm] intorno all'asse y princ. d'inerzia con verso positivo se tale da comprimere il lembo destro della sez.
 Vy Componente del Taglio [kN] parallela all'asse princ.d'inerzia y
 Vx Componente del Taglio [kN] parallela all'asse princ.d'inerzia x

N°Comb.	N	Mx	My	Vy	Vx
1	7890.00	899.00	0.00	321.00	0.00
2	-266.00	899.00	0.00	321.00	0.00
3	11940.00	3581.00	0.00	1279.00	0.00
4	-5827.00	3581.00	0.00	1279.00	0.00

COMB. RARE (S.L.E.) - SFORZI PER OGNI COMBINAZIONE ASSEGNATA

N Sforzo normale [kN] applicato nel Baricentro (+ se di compressione)
 Mx Momento flettente [kNm] intorno all'asse x princ. d'inerzia (tra parentesi Mom.Fessurazione) con verso positivo se tale da comprimere il lembo superiore della sezione
 My Momento flettente [kNm] intorno all'asse y princ. d'inerzia (tra parentesi Mom.Fessurazione) con verso positivo se tale da comprimere il lembo destro della sezione

N°Comb.	N	Mx	My
1	6730.00	622.00	0.00
2	1061.00	622.00	0.00

RELAZIONE DI CALCOLO PILA 2/5

COMMESSA	LOTTO	CODIFICA	DOCUMENTO	REV.	FOGLIO
RS3V	40	D 09 CL	VI 04 05 002	B	53 di 64

COMB. FREQUENTI (S.L.E.) - SFORZI PER OGNI COMBINAZIONE ASSEGNATA

N	Sforzo normale [kN] applicato nel Baricentro (+ se di compressione)
Mx	Momento flettente [kNm] intorno all'asse x princ. d'inerzia (tra parentesi Mom.Fessurazione) con verso positivo se tale da comprimere il lembo superiore della sezione
My	Momento flettente [kNm] intorno all'asse y princ. d'inerzia (tra parentesi Mom.Fessurazione) con verso positivo se tale da comprimere il lembo destro della sezione

N°Comb.	N	Mx	My
1	5431.00	432.00 (1915.67)	0.00 (0.00)
2	1476.00	432.00 (3814.13)	0.00 (0.00)

RISULTATI DEL CALCOLO

Sezione verificata per tutte le combinazioni assegnate

Copriferro netto minimo barre longitudinali:	8.7 cm
Interferro netto minimo barre longitudinali:	2.4 cm
Copriferro netto minimo staffe:	7.9 cm

VERIFICHE DI RESISTENZA IN PRESSO-TENSO FLESSIONE ALLO STATO LIMITE ULTIMO

Ver	S = combinazione verificata / N = combin. non verificata
N	Sforzo normale assegnato [kN] nel baricentro B sezione cls.(positivo se di compressione)
Mx	Componente del momento assegnato [kNm] riferito all'asse x princ. d'inerzia
My	Componente del momento assegnato [kNm] riferito all'asse y princ. d'inerzia
N Res	Sforzo normale resistente [kN] nel baricentro B sezione cls.(positivo se di compress.)
Mx Res	Momento flettente resistente [kNm] riferito all'asse x princ. d'inerzia
My Res	Momento flettente resistente [kNm] riferito all'asse y princ. d'inerzia
Mis.Sic.	Misura sicurezza = rapporto vettoriale tra (N r,Mx Res,My Res) e (N,Mx,My) Verifica positiva se tale rapporto risulta >=1.000
As Totale	Area totale barre longitudinali [cm²]. [Tra parentesi il valore minimo di normativa]

N°Comb	Ver	N	Mx	My	N Res	Mx Res	My Res	Mis.Sic.	As Totale
1	S	7890.00	899.00	0.00	7890.02	8132.17	0.00	9.05	318.6(53.0)
2	S	-266.00	899.00	0.00	-266.12	6341.42	0.00	7.05	318.6(53.0)
3	S	11940.00	3581.00	0.00	11939.74	8188.69	0.00	2.29	318.6(53.0)
4	S	-5827.00	3581.00	0.00	-5827.02	3912.03	0.00	1.09	318.6(53.0)

METODO AGLI STATI LIMITE ULTIMI - DEFORMAZIONI UNITARIE ALLO STATO ULTIMO

ec max	Deform. unit. massima del conglomerato a compressione
Xc max	Ascissa in cm della fibra corrisp. a ec max (sistema rif. X,Y,O sez.)
Yc max	Ordinata in cm della fibra corrisp. a ec max (sistema rif. X,Y,O sez.)
es min	Deform. unit. minima nell'acciaio (negativa se di trazione)
Xs min	Ascissa in cm della barra corrisp. a es min (sistema rif. X,Y,O sez.)
Ys min	Ordinata in cm della barra corrisp. a es min (sistema rif. X,Y,O sez.)
es max	Deform. unit. massima nell'acciaio (positiva se di compress.)
Xs max	Ascissa in cm della barra corrisp. a es max (sistema rif. X,Y,O sez.)
Ys max	Ordinata in cm della barra corrisp. a es max (sistema rif. X,Y,O sez.)

N°Comb	ec max	Xc max	Yc max	es min	Xs min	Ys min	es max	Xs max	Ys max
1	0.00350	0.0	75.0	0.00300	0.0	65.0	-0.00354	0.0	-65.0
2	0.00350	0.0	75.0	0.00267	0.0	65.0	-0.00810	0.0	-65.0
3	0.00350	0.0	75.0	0.00308	0.0	65.0	-0.00242	0.0	-65.0
4	0.00350	0.0	75.0	0.00208	0.0	65.0	-0.01639	0.0	-65.0

RELAZIONE DI CALCOLO PILA 2/5

COMMESSA	LOTTO	CODIFICA	DOCUMENTO	REV.	FOGLIO
RS3V	40	D 09 CL	VI 04 05 002	B	54 di 64

POSIZIONE ASSE NEUTRO PER OGNI COMB. DI RESISTENZA

a, b, c Coeff. a, b, c nell'eq. dell'asse neutro $aX+bY+c=0$ nel rif. X,Y,O gen.
x/d Rapp. di duttilità (travi e solette) § 4.1.2.1.2.1 NTC; deve essere < 0.45
C.Rid. Coeff. di riduz. momenti per sola flessione in travi continue

N°Comb	a	b	c	x/d	C.Rid.
1	0.000000000	0.000050267	-0.000270018	----	----
2	0.000000000	0.000082835	-0.002712629	----	----
3	0.000000000	0.000042319	0.000326084	----	----
4	0.000000000	0.000142078	-0.007155879	----	----

VERIFICHE A TAGLIO

Diam. Staffe: 8 mm
Passo staffe: 6.8 cm [Passo massimo di normativa = 25.0 cm]

Ver S = comb. verificata a taglio / N = comb. non verificata
Ved Taglio di progetto [kN] = proiez. di V_x e V_y sulla normale all'asse neutro
Vcd Taglio compressione resistente [kN] lato conglomerato [formula (4.1.28)NTC]
Vwd Taglio resistente [kN] assorbito dalle staffe [(4.1.18) NTC]
d | z Altezza utile media pesata sezione ortogonale all'asse neutro | Braccio coppia interna [cm]
 Vengono prese nella media le strisce con almeno un estremo compresso.
 I pesi della media sono costituiti dalle stesse lunghezze delle strisce.
bw Larghezza media resistente a taglio [cm] misurate parallel. all'asse neutro
 E' data dal rapporto tra l'area delle sopradette strisce resistenti e Dmed.
Ctg Cotangente dell'angolo di inclinazione dei puntoni di conglomerato
Acw Coefficiente maggiorativo della resistenza a taglio per compressione
Ast Area staffe+legature strettam. necessarie a taglio per metro di pil.[cm²/m]
A.Eff Area staffe+legature efficaci nella direzione del taglio di combinaz.[cm²/m]
 Tra parentesi è indicata la quota dell'area relativa alle sole legature.
 L'area della legatura è ridotta col fattore L/d_{max} con $L=lungh.legat.proietta-$
 sulla direz. del taglio e d_{max} = massima altezza utile nella direz.del taglio.

N°Comb	Ver	Ved	Vcd	Vwd	d z	bw	Ctg	Acw	Ast	A.Eff
1	S	321.00	3955.60	2633.32117.3	94.7	136.9	2.500	1.250	3.5	28.4(0.0)
2	S	321.00	3410.86	2989.32120.6	107.5	130.0	2.500	1.000	3.1	28.4(0.0)
3	S	1279.00	3716.15	2502.66117.3	90.0	135.3	2.500	1.250	14.5	28.4(0.0)
4	S	1279.00	3221.16	3308.05128.9	118.9	110.9	2.500	1.000	11.0	28.4(0.0)

COMBINAZIONI RARE IN ESERCIZIO - MASSIME TENSIONI NORMALI ED APERTURA FESSURE (NTC/EC2)

Ver S = comb. verificata/ N = comb. non verificata
Sc max Massima tensione (positiva se di compressione) nel conglomerato [Mpa]
Xc max, Yc max Ascissa, Ordinata [cm] del punto corrisp. a Sc max (sistema rif. X,Y,O)
Sf min Minima tensione (negativa se di trazione) nell'acciaio [Mpa]
Xs min, Ys min Ascissa, Ordinata [cm] della barra corrisp. a Sf min (sistema rif. X,Y,O)
Ac eff. Area di calcestruzzo [cm²] in zona tesa considerata aderente alle barre
As eff. Area barre [cm²] in zona tesa considerate efficaci per l'apertura delle fessure

N°Comb	Ver	Sc max	Xc max	Yc max	Sf min	Xs min	Ys min	Ac eff.	As eff.
1	S	4.36	0.0	0.0	27.2	0.0	-65.0	----	----
2	S	2.15	0.0	0.0	-21.2	0.0	-65.0	1541	53.1

COMBINAZIONI RARE IN ESERCIZIO - APERTURA FESSURE [§ 7.3.4 EC2]

RELAZIONE DI CALCOLO PILA 2/5

COMMESSA	LOTTO	CODIFICA	DOCUMENTO	REV.	FOGLIO
RS3V	40	D 09 CL	VI 04 05 002	B	55 di 64

Ver.	La sezione viene assunta sempre fessurata anche nel caso in cui la trazione minima del calcestruzzo sia inferiore a f_{ctm}
e1	Esito della verifica
e2	Massima deformazione unitaria di trazione nel calcestruzzo (trazione -) valutata in sezione fessurata
k1	Minima deformazione unitaria di trazione nel calcestruzzo (trazione -) valutata in sezione fessurata
kt	= 0.8 per barre ad aderenza migliorata [eq.(7.11)EC2]
k2	= 0.4 per comb. quasi permanenti / = 0.6 per comb. frequenti [cfr. eq.(7.9)EC2]
k3	= 0.5 per flessione; $=(e1 + e2)/(2 \cdot e1)$ per trazione eccentrica [eq.(7.13)EC2]
k4	= 3.400 Coeff. in eq.(7.11) come da annessi nazionali
\emptyset	= 0.425 Coeff. in eq.(7.11) come da annessi nazionali
Cf	Diametro [mm] equivalente delle barre tese comprese nell'area efficace $A_c \text{ eff}$ [eq.(7.11)EC2]
e sm - e cm	Copriferro [mm] netto calcolato con riferimento alla barra più tesa
sr max	Differenza tra le deformazioni medie di acciaio e calcestruzzo [(7.8)EC2 e (C4.1.7)NTC]
wk	Tra parentesi: valore minimo = $0.6 S_{max} / E_s$ [(7.9)EC2 e (C4.1.8)NTC]
Mx fess.	Massima distanza tra le fessure [mm]
My fess.	Apertura fessure in mm calcolata = $sr \cdot \max(e_{sm} - e_{cm})$ [(7.8)EC2 e (C4.1.7)NTC]. Valore limite tra parentesi
	Componente momento di prima fessurazione intorno all'asse X [kNm]
	Componente momento di prima fessurazione intorno all'asse Y [kNm]

Comb.	Ver	e1	e2	k2	\emptyset	Cf	e sm - e cm	sr max	wk	Mx fess	My fess
1	S	-0.00047	0	----	----	----	----	----	0.000 (0.20)	1942.10	0.00
2	S	-0.00013	0	0.500	26.0	87	0.00006 (0.00006)	424	0.027 (0.20)	1786.12	0.00

COMBINAZIONI FREQUENTI IN ESERCIZIO - MASSIME TENSIONI NORMALI ED APERTURA FESSURE (NTC/EC2)

N°Comb	Ver	Sc max	Xc max	Yc max	Sf min	Xs min	Ys min	Ac eff.	As eff.
1	S	3.37	0.0	0.0	24.0	0.0	-65.0	----	----
2	S	1.63	0.0	0.0	-3.2	0.0	-65.0	364	5.3

COMBINAZIONI FREQUENTI IN ESERCIZIO - APERTURA FESSURE [§ 7.3.4 EC2]

Comb.	Ver	e1	e2	k2	\emptyset	Cf	e sm - e cm	sr max	wk	Mx fess	My fess
1	S	-0.00047	0	----	----	----	----	----	0.000 (0.20)	1915.67	0.00
2	S	-0.00003	0	0.500	26.0	87	0.00001 (0.00001)	599	0.006 (0.20)	3814.13	0.00

4.9.4 Escursione Longitudinale, giunti e varchi

Le escursioni longitudinali che i vincoli mobili devono consentire, sono state determinate in accordo con quanto indicato nel §2.1.5 della specifica RFI per i ponti [3].

Per i ponti e viadotti costituiti da una serie di travi semplicemente appoggiate l'entità dell'escursione totale dei giunti e degli apparecchi d'appoggio viene valutato mediante la seguente relazione:

$$EL = k_1 \cdot (E_1 + E_2 + E_3) = k_1 \cdot (2 \cdot Dt + 4 \cdot dEd \cdot k_2 + 2 \cdot deg)$$

dove:

E1 = spostamento dovuto alla variazione termica uniforme;

E2 = spostamento dovuto alla risposta della struttura all'azione sismica;

E3 = spostamento dovuto all'azione sismica fra le fondazioni di strutture non collegate;

k1 = 0,45 coefficiente che tiene conto della non contemporaneità dei valori massimi corrispondenti a ciascun evento singolo;

k2 = 0,55 coefficiente legato alla probabilità di moto in controfase di due pile adiacenti;

dEd = è lo spostamento relativo totale tra le parti, pari allo spostamento dE prodotto dall'azione sismica di progetto, calcolato come indicato nel §7.3.3.3 delle NTC [1];

deg = è lo spostamento relativo tra le parti dovuto agli spostamenti relativi del terreno, da valutare secondo il §3.2.3.3 e §3.2.4.2 delle NTC [1];

In favore di sicurezza $deg = d_{ij \max}$ =

$$d_{ij \max} = 1,25 \sqrt{d_{gi}^2 + d_{gj}^2}$$

Dove dgi e dgj sono gli spostamenti massimi del suolo nei punti i e j, calcolati con riferimento alle caratteristiche locali del sottosuolo:

$$d_g = 0,025 \cdot a_g \cdot S \cdot T_c \cdot T_D$$

In ogni caso, dovrà risultare:

$$EL \geq E0 \quad \text{e} \quad EL \geq Ei \quad \text{con } i = 1, 2, 3$$

dove:

E0 = escursione valutata secondo i criteri validi nelle zone non sismiche;

Ei = il maggiore dei due termini indicati nella espressione precedente.

Nei casi in cui anche una sola delle due precedenti disuguaglianze non risultasse verificata, dovrà assumersi

$$EL = \max(E0; Ei).$$

Per garantire un valore minimo di escursione, in funzione della sismicità del sito, il valore EL dovrà essere assunto non minore di:

$$EL \geq 3,3 \cdot L/1000 + 0,1 \text{ m} \quad \text{e} \quad EL \geq 0,15 \text{ m} \quad \text{per } ag(SLV) \geq 0,25 \text{ g}$$

$$EL \geq 2,3 \cdot L/1000 + 0,073 \text{ m} \quad \text{e} \quad EL \geq 0,10 \text{ m} \quad \text{per } ag(SLV) < 0,25 \text{ g}$$

dove:

L = la lunghezza del ponte (m).

- a) La corsa degli apparecchi d'appoggio mobili deve essere non inferiore a

$$EC_{min} = \pm(EL/2 + EL/8) \text{ con un minimo di } \pm(EL/2 + 15 \text{ mm}).$$

- b) Il giunto fra le testate di due travi adiacenti dovrà consentire una escursione totale pari a:

$$EG_{min} = \pm(EL/2 + 10 \text{ mm})$$

- c) Il varco da prevedere fra le testate degli impalcati adiacenti, a temperatura media ambiente, dovrà essere non inferiore a:

$$EV_{min} = EL/2 + 20 \text{ mm}$$

- d) Il ritegno sismico dovrà essere disposto ad una distanza, dal bordo della trave supportata dal vincolo mobile, pari a:

$$ER_{min} = V - 10 \text{ mm}$$

Di seguito vengono valutati preliminarmente i diversi contributi relativi alle diverse azioni (termica, sismica e moto delle fondazioni) e successivamente vengono riportati i calcoli delle diverse grandezze.

a_g		0.164	g
F_0		2.624	
S_s		1.442	
S_t		1	
T_c		0.715	s
T_D		2.255	s
Accel. massima al suolo	$S \cdot a_{gmax}$	0.24	g
Accel. massima spettro (plateau)	$F_0 \cdot S \cdot a_{gmax}$	0.62	g
Inerzia Pila asse y	J_{yy}	19.0	m ⁴
Altezza pila	h1	16.5	m
Altezza baricentro impalcato	h2	2.7	m
Altezza totale	h=h1+h2	19.2	
Rigidità Pila asse y	K	132878621	N/m
Forza agente in fase sismica in dir.x	F	10712	kN
Fattore di struttura	q	1	

RELAZIONE DI CALCOLO PILA 2/5	COMMESSA	LOTTO	CODIFICA	DOCUMENTO	REV.	FOGLIO
	RS3V	40	D 09 CL	VI 04 05 002	B	58 di 64
Spostamento testa pila	$d_{Ee} = F/K$		0.081	m		
μ_d (par.7.3.3.3 NTC)			1			
Spostamento testa pila (par.7.3.3.3 NTC)	$d_E = d_{Ee} * \mu_d$		0.081	m		
k1			0.45			
k2			0.55			
d_g (par.3.2.3.2.1 NTC)			0.09	m		
$d_{ij \max}$ (par.3.2.4.2)			0.17			
Lunghezza impalcato			50	m		
Dilatazione termica impalcato	D_t		0.016	m		
E1	$2 * D_t$		0.032	m		
E2	$4 * d_E * k_2$		0.177	m		
E3	$2 * d_{ij \max}$		0.331	m		
EL	$k_1 * (E_1 + E_2 + E_3)$		0.163	m		Spalla - Spalla
EL	$k_1 * (E_1 + E_2 + E_3)$		0.243	m		Spalla - Pila
EL	$k_1 * (E_1 + E_2 + E_3)$		0.323	m		Pila - Pila
EL min 1			0.188	m		
EL min 2			0.100	m		
EL min	$\max(EL_{min1}; EL_{min2})$		0.188	m		
EL progetto	$\max(EL; EL_{min}; E_i)$		0.331	m		Spalla - Spalla
EL progetto	$\max(EL; EL_{min}; E_i)$		0.331	m		Spalla - Pila
EL progetto	$\max(EL; EL_{min}; E_i)$		0.331	m		Pila - Pila
Corsa apparecchi di appoggio mobili	par 2.5.2.1.5.2		0.207	+/- m		Spalla - Spalla
Corsa apparecchi di appoggio mobili	par 2.5.2.1.5.5		0.207	+/- m		Spalla - Pila
Corsa apparecchi di appoggio mobili	par 2.5.2.1.5.5		0.207	+/- m		Pila - Pila
Escursione dei giunti	par 2.5.2.1.5.3		0.175	+/- m		Spalla - Spalla
Escursione dei giunti	par 2.5.2.1.5.3		0.175	+/- m		Spalla - Pila

Escursione dei giunti	par 2.5.2.1.5.3	0.175	+/- m	Pila - Pila
Ampiezza dei varchi 'V'	par 2.5.2.1.5.4	0.185	m	Pila - Pila
Ritegni sismici	par 2.5.2.1.5.5	0.175	m	Pila - Pila

4.9.5 Ritegni sismici, baggioli, pulvini

Le massime forze sismiche afferenti alla pila in direzione longitudinale sono le seguenti:

$$P_{max} = [(G1+G2)*L+0.2*Q]*a_{max} = 6855 \text{ kN}$$

Il ritegno longitudinale è dunque soggetto ad una forza orizzontale pari a:

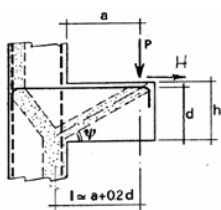
$$P_{max} = 6855 \text{ kN}$$

Le sollecitazioni vengono applicate ad una sezione avente le seguenti caratteristiche:

$$B = 5,20 \text{ m}$$

$$H = 0,50 \text{ m}$$

VERIFICA - MECCANISMO TIRANTE PUNTONE.



P, H : Carichi Esterni di Progetto (P_{Fn}, H_{Fn})

P_r : Portanza mensola in termini di resistenza dell'armatura metallica

$$P_r = P_{Rs} = (A_s f_{yd} - H_{Ed}) \frac{1}{\lambda} \quad \lambda = \text{ctg} \psi \leq l / (0.9d)$$

P_r : Portanza mensola in termini di resistenza della Biella compressa

$$P_{Re} = 0,4 b d f_{cd} \frac{c}{1 + \lambda^2} \geq P_{Rs}$$

CONDIZIONI DI VERIFICA

- $P_R \geq P_{Ed}$
- $\quad \geq P_{Rs}$

Dati di progetto

b(m)=	5.20	m	dimensione trasversale verifica
P _{Ed} (KN) =	6855	KN	Carico complessivo VERTICALE sulla fascia di dimensione b
H _{Ed} (KN) =	0.00	KN	Carico complessivo ORIZZONTALE sulla fascia di dimensione b
a(m) =	0.55	m	distanza P da incastro
h(m) =	0.50	m	spessore mensola
δ(m) =	0.07	m	copriferro riferito al baricentro delle armature compressive in trazione
d(m) =	0.44	m	altezza utile
l(m) =	0.64	m	a+0,2d
λ =	1.63		λ=ctgψ≧l/(0,9d).

Tipo di mensola (Valutazione coefficiente C)

sblazi di travi (con staffatura)

c(m) = 1.50

Caratteristiche Materiali

f _{cd} =	18.8	MPa	Calcestruzzo
f _{yd} =	391.0	MPa	Acciaio

Caratteristiche Armature di Progetto

Registro tipo R1

n° R1 =	1	φ1(mm) =	26.0	p1(cm) =	10	θ1° =	0.0
A _φ i (mm ²) =	530.93	nb tot 1 =	54.7	A _φ TOT (mm ²) =	29061.36	A _φ CAL(mm ²) =	29061.36

Registro tipo R2

n° R2 =	0	φ2(mm) =	24.0	p2(cm) =	15.0	θ2° =	0.0
A _φ i (mm ²) =	452.39	nb tot 2 =	0.0	A _φ TOT (mm ²) =	0.00	A _φ CAL(mm ²) =	0.00

Registro tipo R3

n° R3 =	0	φ3(mm) =	26.0	p3(cm) =	10.0	θ3° =	0.0
A _φ i (mm ²) =	530.93	nb tot 3 =	0.0	A _φ TOT (mm ²) =	0.00	A _φ CAL(mm ²) =	0.00

Verifiche di resistenza

ψ = rad = °

P_{RS} = KN

P_{RC} = KN

Le massime forze sismiche afferenti alla pila in direzione trasversale sono le seguenti:

$P_{max} = [(G1+G2)*L+0.2*Q]*a_{max} = 7473 \text{ kN}$

Il ritegno trasversale è dunque soggetto ad una forza orizzontale pari a:

$P_{max} = 7473 \text{ kN}$

Le sollecitazioni vengono applicate ad una sezione avente le seguenti caratteristiche:

B = 3,40 m

H = 1,5 m

Dati di progetto

$b(m) =$	3.40	m	dimensione trasversale verifica
$P_{Ed} (KN) =$	7473	KN	Carico complessivo VERTICALE sulla fascia di dimensione b
$H_{Ed} (KN) =$	0.00	KN	Carico complessivo ORIZZONTALE sulla fascia di dimensione b
$a(m) =$	0.55	m	distanza P da incastro
$h(m) =$	1.50	m	spessore mensola
$\delta(m) =$	0.10	m	copriferro riferito al baricentro delle armature compressive in trazione
$d(m) =$	1.40	m	altezza utile
$l(m) =$	0.83	m	$a+0,2d$
$\lambda =$	0.66		$\lambda = ctg\psi \leq l/(0,9d)$

Tipo di mensola (Valutazione coefficiente C)

sblazi di travi (con staffatura)

$c(m) =$ 1.50

Caratteristiche Materiali

$f_{cd} =$	18.8	MPa	Calcestruzzo
$f_{yd} =$	391.0	MPa	Acciaio

Caratteristiche Armature di Progetto

Registro tipo	R1				
$n^{\circ} R1 =$	1	$\phi 1(mm) =$	22.0	$p1(cm) =$	10
$A_{\phi i} (mm^2) =$	380.13	$nb\ tot\ 1 =$	34.0	$A_{\phi\ TOT} (mm^2) =$	12924.50
				$A_{\phi\ CAL}(mm^2) =$	12924.50
$\theta 1^{\circ} =$					0.0
Registro tipo	R2				
$n^{\circ} R2 =$	0	$\phi 2(mm) =$	22.0	$p2(cm) =$	10.0
$A_{\phi i} (mm^2) =$	380.13	$nb\ tot\ 2 =$	0.0	$A_{\phi\ TOT} (mm^2) =$	0.00
				$A_{\phi\ CAL}(mm^2) =$	0.00
$\theta 2^{\circ} =$					0.0
Registro tipo	R3				
$n^{\circ} R3 =$	0	$\phi 3(mm) =$	26.0	$p3(cm) =$	10.0
$A_{\phi i} (mm^2) =$	530.93	$nb\ tot\ 3 =$	0.0	$A_{\phi\ TOT} (mm^2) =$	0.00
				$A_{\phi\ CAL}(mm^2) =$	0.00
$\theta 3^{\circ} =$					0.0

Verifiche di resistenza

$\psi =$	0.988	rad	=	56.63	$^{\circ}$
$P_{RS} =$	7671.5	KN		PRs>PEd- Verifica Soddisfatta	
$P_{RC} =$	37444.6	KN		PRc>PRs - Verifica Soddisfatta	

Il baggiolo è soggetto ad una forza orizzontale pari a:

$$P_{max} = 8090 \text{ kN}/2 = 4045 \text{ kN}$$

Le sollecitazioni vengono applicate ad una sezione avente le seguenti caratteristiche:

$$B = 0,80 \text{ m}$$

$$H = 0,80 \text{ m}$$

RELAZIONE DI CALCOLO PILA 2/5

COMMESSA	LOTTO	CODIFICA	DOCUMENTO	REV.	FOGLIO
RS3V	40	D 09 CL	VI 04 05 002	B	62 di 64

Dati di progetto

$b(m) =$	0.80	m	dimensione trasversale verifica
$P_{Ed} (KN) =$	4045	KN	Carico complessivo VERTICALE sulla fascia di dimensione b
$H_{Ed} (KN) =$	0.00	KN	Carico complessivo ORIZZONTALE sulla fascia di dimensione b
$a(m) =$	0.25	m	distanza P da incastro
$h(m) =$	0.80	m	spessore mensola
$\delta(m) =$	0.10	m	copriferro riferito al baricentro delle armature complessive in trazione
$d(m) =$	0.70	m	altezza utile
$l(m) =$	0.39	m	$a+0,2d$
$\lambda =$	0.62		$\lambda = \text{ctg} \psi \leq l / (0,9d)$

Tipo di mensola (Valutazione coefficiente c)

sblazi di travi (con staffatura)

Caratteristiche Materiali

$f_{cd} =$	18.8	MPa	Calcestruzzo
$f_{yd} =$	391.0	MPa	Acciaio

Caratteristiche Armature di Progetto

<u>Registro tipo</u>	R1				
$n^{\circ} R1 =$	1	$\phi 1(mm) =$	24.0	$p1(cm) =$	10
$A_{\phi i} (mm^2) =$	452.39	$nb \text{ tot } 1 =$	8.0	$A_{\phi} \text{ TOT } (mm^2) =$	3619.11
				$A_{\phi} \text{ CAL}(mm^2) =$	3619.11
<u>Registro tipo</u>	R2				
$n^{\circ} R2 =$	1	$\phi 2(mm) =$	22.0	$p2(cm) =$	10.0
$A_{\phi i} (mm^2) =$	380.13	$nb \text{ tot } 2 =$	8.0	$A_{\phi} \text{ TOT } (mm^2) =$	3041.06
				$A_{\phi} \text{ CAL}(mm^2) =$	3041.06
<u>Registro tipo</u>	R3				
$n^{\circ} R3 =$	0	$\phi 3(mm) =$	26.0	$p3(cm) =$	10.0
$A_{\phi i} (mm^2) =$	530.93	$nb \text{ tot } 3 =$	0.0	$A_{\phi} \text{ TOT } (mm^2) =$	0.00
				$A_{\phi} \text{ CAL}(mm^2) =$	0.00

Verifiche di resistenza

$\Psi =$	1.016	rad	$=$	58.24	$^{\circ}$
$P_{RS} =$	4206.7	KN	PRs > PEd - Verifica Soddisfatta		
$P_{RC} =$	4566.7	KN	PRc > PRs - Verifica Soddisfatta		

Il pulvino è soggetto ad una forza verticale pari a:

$P_{max} = 12156 \text{ kN}$ (scarico massimo SLU appoggi)

Le sollecitazioni vengono applicate ad una sezione avente le seguenti caratteristiche:

$B = 3,40 \text{ m}$

$H = 2,0 \text{ m}$

RELAZIONE DI CALCOLO PILA 2/5

COMMESSA	LOTTO	CODIFICA	DOCUMENTO	REV.	FOGLIO
RS3V	40	D 09 CL	VI 04 05 002	B	63 di 64

Dati di progetto

$b(m) =$	3.40	m	dimensione trasversale verifica
$P_{Ed} (KN) =$	12156	KN	Carico complessivo VERTICALE sulla fascia di dimensione b
$H_{Ed} (KN) =$	364.68	KN	Carico complessivo ORIZZONTALE sulla fascia di dimensione b
$a(m) =$	1.80	m	distanza P da incastro
$h(m) =$	2.00	m	spessore mensola
$\delta(m) =$	0.15	m	copriferro riferito al baricentro delle armature compressive in trazione
$d(m) =$	1.85	m	altezza utile
$l(m) =$	2.17	m	$a+0,2d$
$\lambda =$	1.30		$\lambda = ctg\psi \leq l/(0,9d)$

Tipo di mensola (Valutazione coefficiente C)

sblazi di travi (con staffatura)

Caratteristiche Materiali

$f_{cd} =$	18.8	MPa	Calcestruzzo
$f_{yd} =$	391.0	MPa	Acciaio

Caratteristiche Armature di Progetto

Registro tipo R1

$n^{\circ} R1 =$	1	$\phi 1(mm) =$	24.0	$p1(cm) =$	10.0	$\theta 1^{\circ} =$	0.0
$A_{\phi i} (mm^2) =$	452.39	$nb \text{ tot } 1 =$	34.0	$A_{\phi \text{ TOT}} (mm^2) =$	15381.22	$A_{\phi \text{ CAL}} (mm^2) =$	15381.22

Registro tipo R2

$n^{\circ} R2 =$	1	$\phi 2(mm) =$	24.0	$p2(cm) =$	10.0	$\theta 2^{\circ} =$	0.0
$A_{\phi i} (mm^2) =$	452.39	$nb \text{ tot } 2 =$	34.0	$A_{\phi \text{ TOT}} (mm^2) =$	15381.22	$A_{\phi \text{ CAL}} (mm^2) =$	15381.22

Registro tipo R3

$n^{\circ} R3 =$	1	$\phi 3(mm) =$	24.0	$p3(cm) =$	10.0	$\theta 3^{\circ} =$	0.0
$A_{\phi i} (mm^2) =$	452.39	$nb \text{ tot } 3 =$	34.0	$A_{\phi \text{ TOT}} (mm^2) =$	15381.22	$A_{\phi \text{ CAL}} (mm^2) =$	15381.22

Verifiche di resistenza

$\Psi =$ rad = °

$P_{RS} =$ KN

$P_{RC} =$ KN

5 SINTESI DELLE VERIFICHE GEOTECNICHE

Nel presente paragrafo si riporta una sintesi in forma tabellare delle sollecitazioni massime sui pali e delle verifiche geotecniche per il viadotto in oggetto, con relativi coefficienti di sicurezza.

Per maggiori dettagli si rimanda alle specifiche relazioni delle fondazioni.

PALI					SFORZO NORMALE SLU/SLV		SFORZO NORMALE SLE	
viadotto	spalla/pila	D[mm]	npali[-]	Lpalo [m]	Nmax,c [kN]	Nmin[kN]	Nmax, SLE,rara [kN]	Nmax, SLE,FREQ [kN]
VI04	spalla A	1500	9	23.0	5399	-	3810	3611
VI04	spalla B	1500	9	23.0	5399	-	3810	3611
VI04	Pila 1	1500	12	32.0	8970	-3201	6077	5033
VI04	Pila 2	1500	12	34.0	9797	-3685	6730	5431
VI04	Pila 3	1500	9	37.0	10650	-3807	6589	5510
VI04	Pila 4	1500	12	39.0	11569	-4970	8377	6524
VI04	Pila 8	1200	9	26.0	5103	-1247	3465	3040

TAGLI E MOMENTI			CAPACITA' PORTANTE PALI							
senza scalzamento			CARICO LIMITE ORIZZONTALE		COMPRESSIONE		TRAZIONE		ESERCIZIO	
Tmax [kN]	alfa [m]	Mmax	Hd[kN]	FS	Qd [kN]	FS	Qdt [kN]	FS	QII/1.25[kN]	FS
966	3.0	2927	1118.5	1.16	6344.0	1.18	-	-	6904.0	1.81
966	3.0	2927	1118.5	1.16	6136.0	1.14	-	-	6600.0	1.73
1259	2.8	3525	1282.5	1.02	9936.0	1.11	7725.0	2.41	11003.2	1.81
1279	2.8	3581	1282.5	1.00	10667.0	1.09	8344.0	2.26	11908.0	1.77
1136	2.8	3181	1271.0	1.12	11728.0	1.10	9271.0	2.44	13264.8	2.01
1108	2.8	3102	1248.6	1.13	12322.0	1.07	9890.0	1.99	14169.6	1.69
750	2.4	1800	1118.6	1.49	6093.0	1.19	4619.0	3.70	6684.0	1.93